



数字图象处理

中国科学技术大学
电子工程与信息科学系

主讲教师: 李厚强 (lihq@ustc.edu.cn)
周文罡 (zhwg@ustc.edu.cn)

课件下载: <https://ustc-dip.github.io/>



第5章 图像复原与重建

- 数字图象恢复与增强的目的类似，旨在改善图象的质量
- 但复原是力求保持图象的本来面目，即以保真原则为其前提，这是区别于增强的基本不同点
- 因而复原时要了解图象质量下降的物理过程，找出或估计其物理模型。恢复的过程就是沿着质量下降的逆过程来重现原始图象



第5章 图像复原与重建

- 5.1 图像退化/复原过程的模型
- 5.2 噪声模型
- 5.3 只存在噪声的复原——空间滤波
- 5.4 用频率域消除周期噪声
- 5.5 线性、位置不变的退化
- 5.6 估计退化函数
- 5.7 逆滤波
- 5.8 最小均方误差（维纳）滤波
- 5.9 约束最小二乘方滤波
- 5.10 由投影重建图像



第5章 图像复原与重建

5.1 图像退化/复原过程的模型

5.2 噪声模型

5.3 只存在噪声的复原——空间滤波

5.4 用频率域消除周期噪声

5.5 估计退化函数

5.6 逆滤波

5.7 最小均方误差（维纳）滤波

5.8 约束最小二乘方滤波

5.9 由投影重建图像

5.1 图像退化/复原过程的模型

□ 线性位移不变系统，加性噪声

- 线性：齐次性和可加性

$$H[af_1(x, y) + bf_2(x, y)] = aH[f_1(x, y)] + bH[f_2(x, y)]$$

- 移不变：输入平移后，输出作同样的平移

$$H[f(x - \alpha, y - \beta)] = g(x - \alpha, y - \beta)$$

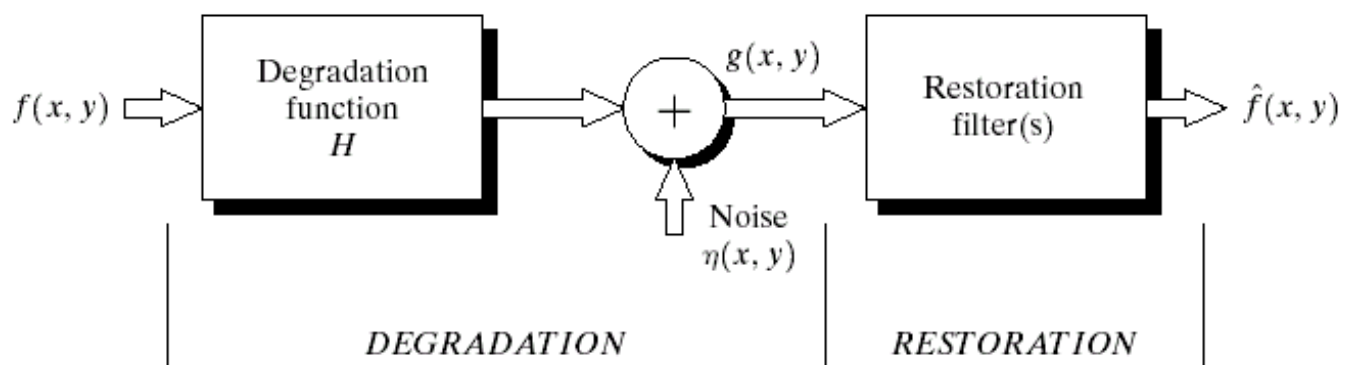


FIGURE 5.1 A model of the image degradation/ restoration process.

$$g(x, y) = h(x, y) * f(x, y) + \eta(x, y)$$

$$G(u, v) = H(u, v)F(u, v) + N(u, v)$$



第5章 图像复原与重建

5.1 图像退化/复原过程的模型

5.2 噪声模型

5.3 只存在噪声的复原——空间滤波

5.4 用频率域消除周期噪声

5.5 估计退化函数

5.6 逆滤波

5.7 最小均方误差（维纳）滤波

5.8 约束最小二乘方滤波

5.9 由投影重建图像



5.2 噪声模型

□ 噪声的产生

- 图像获取: CCD相机
- 图像传输: 无线传输

□ 噪声的空域特性和频域特性

- 空域特性: 噪声的直方图分布
- 频域特性: 噪声在Fourier频谱上的分布

□ 几种典型的噪声模型

- 高斯噪声 (Gaussian noise), 瑞利噪声(Rayleigh noise),
厄兰噪声(Erlang noise), 指数噪声(Exponential noise),
均匀噪声(Uniform noise), 椒盐噪声(salt-and-pepper)



几种典型的噪声模型

$$p(z) = \frac{1}{\sqrt{2\pi}\sigma} e^{-(z-\mu)^2/2\sigma^2} \text{ (高斯噪声)}$$

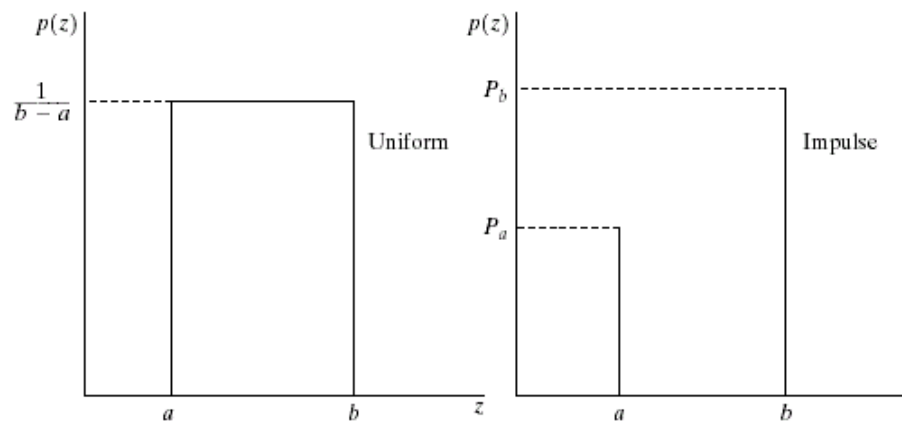
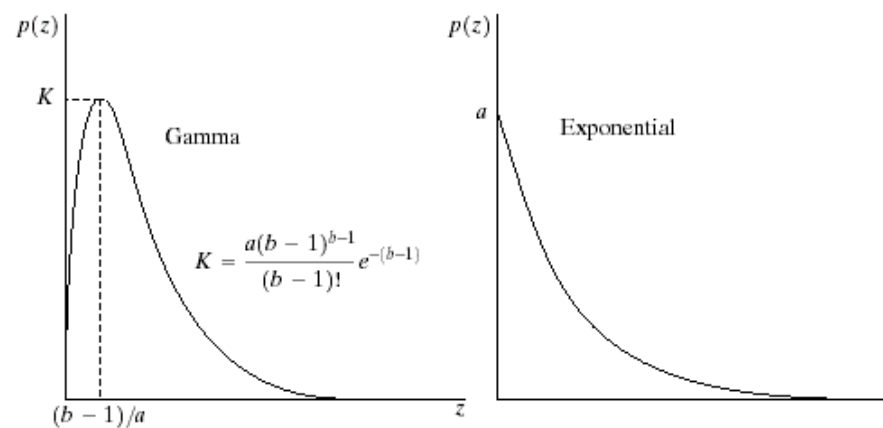
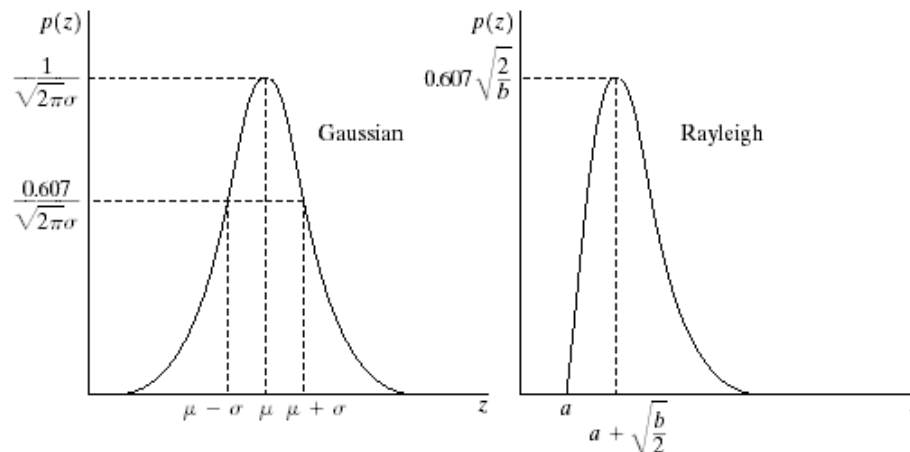
$$p(z) = \begin{cases} \frac{2}{b}(z-a)e^{-(z-a)^2/b} & \text{for } z \geq a \\ 0 & \text{for } z < a \end{cases} \text{ (瑞利噪声)}$$

$$p(z) = \begin{cases} \frac{a^b z^{b-1}}{(b-1)!} e^{-az} & \text{for } z \geq 0 \\ 0 & \text{for } z < 0 \end{cases} \text{ (厄兰噪声)}$$

$$p(z) = \begin{cases} ae^{-az} & \text{for } z \geq 0 \\ 0 & \text{for } z < 0 \end{cases} \text{ (指数噪声)}$$

$$p(z) = \begin{cases} \frac{1}{b-a} & \text{if } a \leq z \leq b \\ 0 & \text{otherwise} \end{cases} \text{ (均匀噪声)}$$

$$p(z) = \begin{cases} p_a & \text{for } z = a \\ p_b & \text{for } z = b \\ 0 & \text{otherwise} \end{cases} \text{ (椒盐噪声)}$$



噪声模型

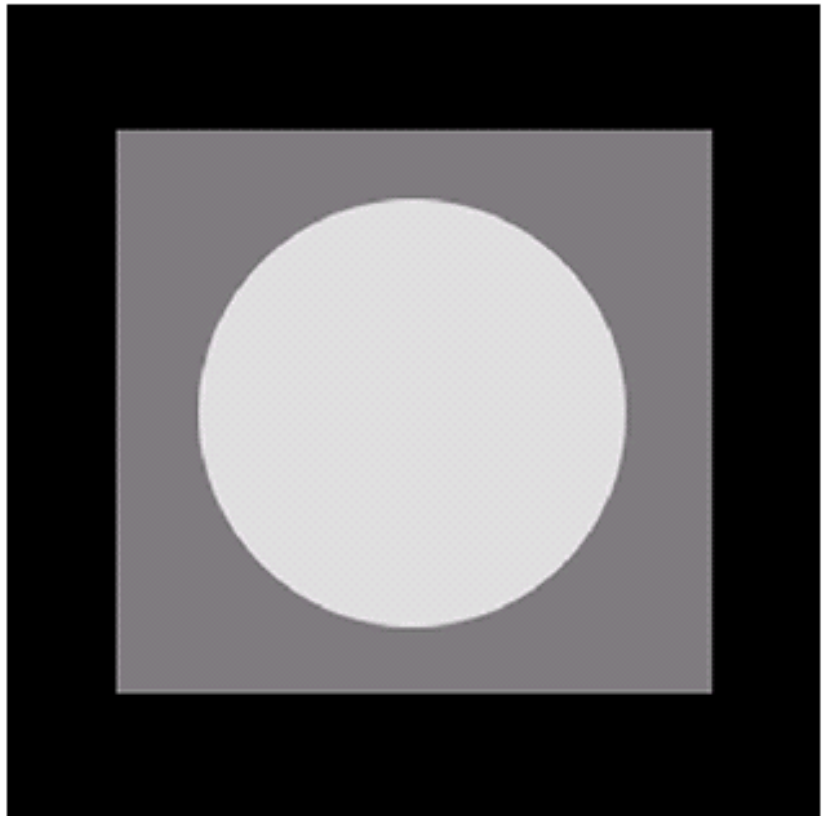
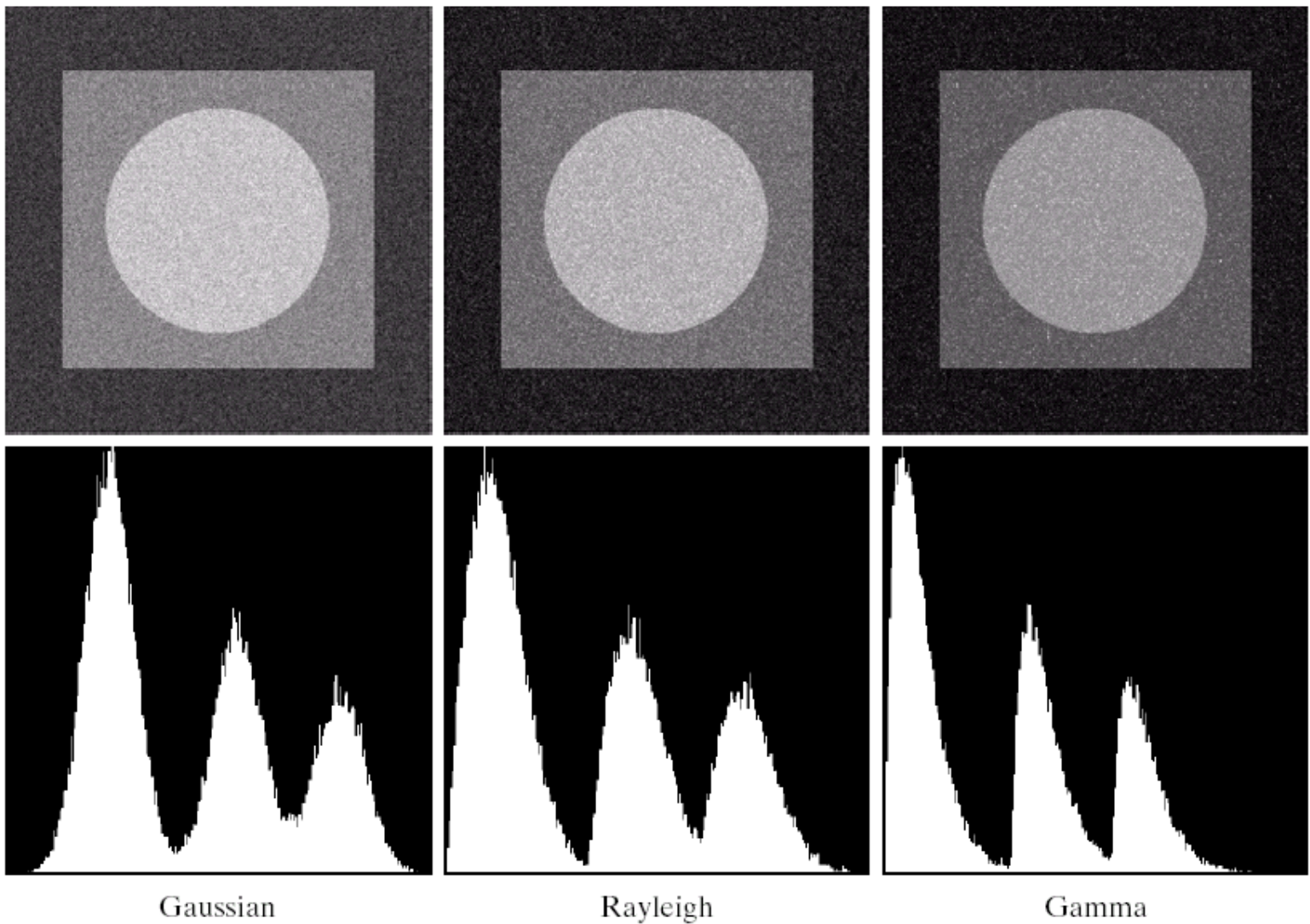
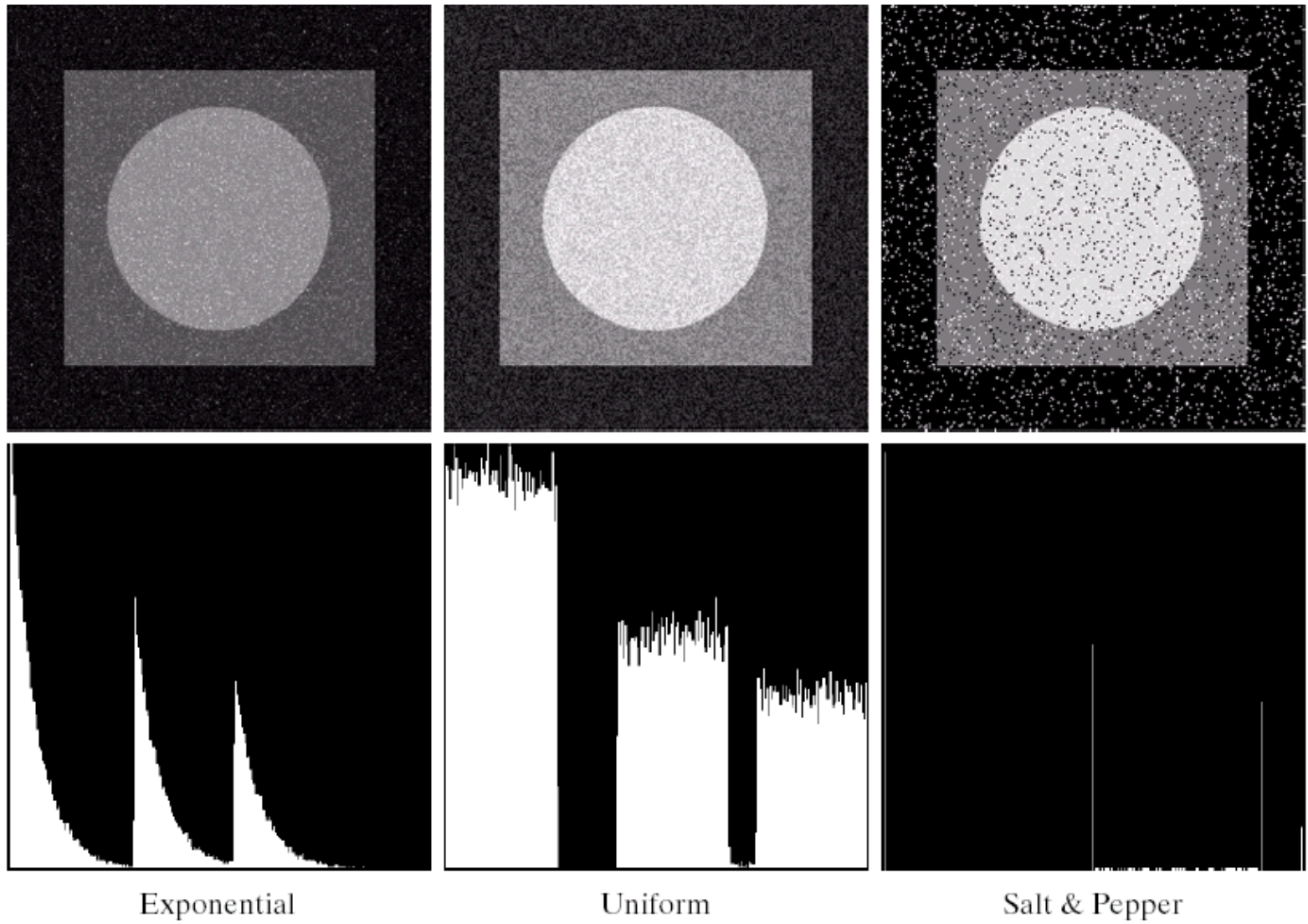


FIGURE 5.3 Test pattern used to illustrate the characteristics of the noise PDFs shown in Fig. 5.2.



a	b	c
d	e	f

FIGURE 5.4 Images and histograms resulting from adding Gaussian, Rayleigh, and gamma noise to the image in Fig. 5.3.



g h i
j k l

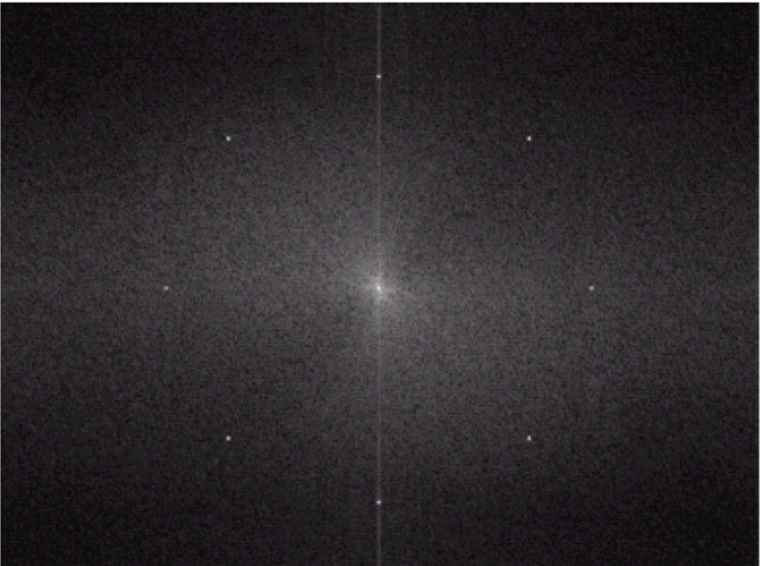
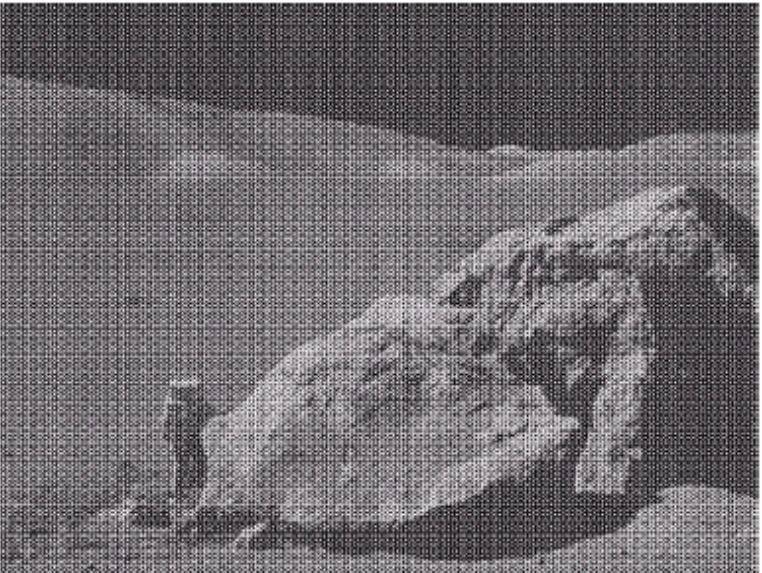
FIGURE 5.4 (Continued) Images and histograms resulting from adding exponential, uniform, and impulse noise to the image in Fig. 5.3.

周期噪声(Periodic Noise)

a
b

FIGURE 5.5

(a) Image corrupted by sinusoidal noise.
 (b) Spectrum (each pair of conjugate impulses corresponds to one sine wave). (Original image courtesy of NASA.)

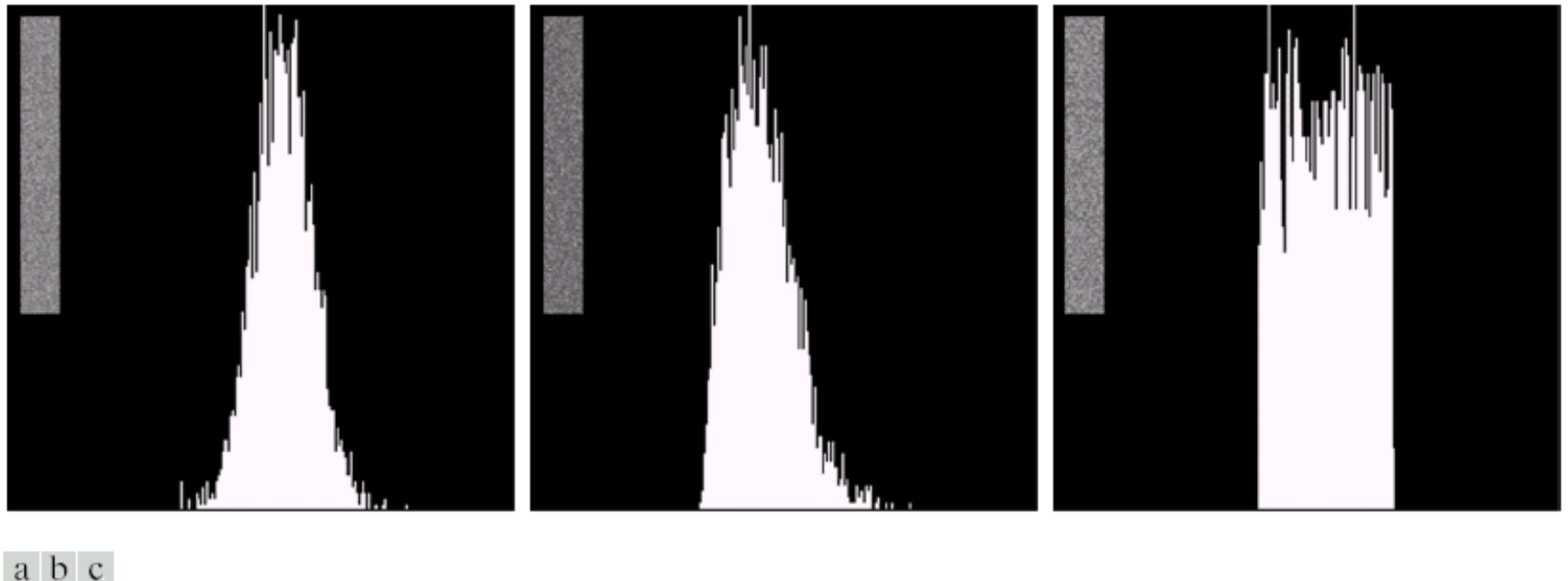


$$\cos(2\pi u_0 x + 2\pi v_0 y)$$

$$\begin{array}{c} \uparrow \\ \text{DFT} \\ \downarrow \end{array}$$

$$\frac{1}{2} [\delta(u + Mu_0, v + Nv_0) + \delta(u - Mu_0, v - Nv_0)]$$

估计噪声参数



a b c

FIGURE 5.6 Histograms computed using small strips (shown as inserts) from (a) the Gaussian, (b) the Rayleigh, and (c) the uniform noisy images in Fig. 5.4.



第5章 图像复原与重建

- 5.1 图像退化/复原过程的模型
- 5.2 噪声模型
- 5.3 只存在噪声的复原——空间滤波
- 5.4 用频率域消除周期噪声
- 5.5 估计退化函数
- 5.6 逆滤波
- 5.7 最小均方误差（维纳）滤波
- 5.8 约束最小二乘方滤波
- 5.9 由投影重建图像



5.3 只存在噪声的复原——空间滤波

- 基于空域滤波的方法仅针对加性噪声

$$g(x, y) = f(x, y) + \eta(x, y)$$

- 与空域增强原理相同
- 几种常用滤波器
 - 均值滤波器 (Mean Filters)
 - 次序统计滤波器 (Order Statistic Filters)
 - 自适应滤波器(Adaptive Filters)



几种常用滤波器

- 算术平均滤波器(Arithmetic mean filters)

$$\hat{f}(x, y) = \frac{1}{mn} \sum_{(s,t) \in S_{xy}} g(s, t)$$

- 几何平均滤波器(Geometric mean filter)

$$\hat{f}(x, y) = \left[\prod_{(s,t) \in S_{xy}} g(s, t) \right]^{\frac{1}{mn}}$$

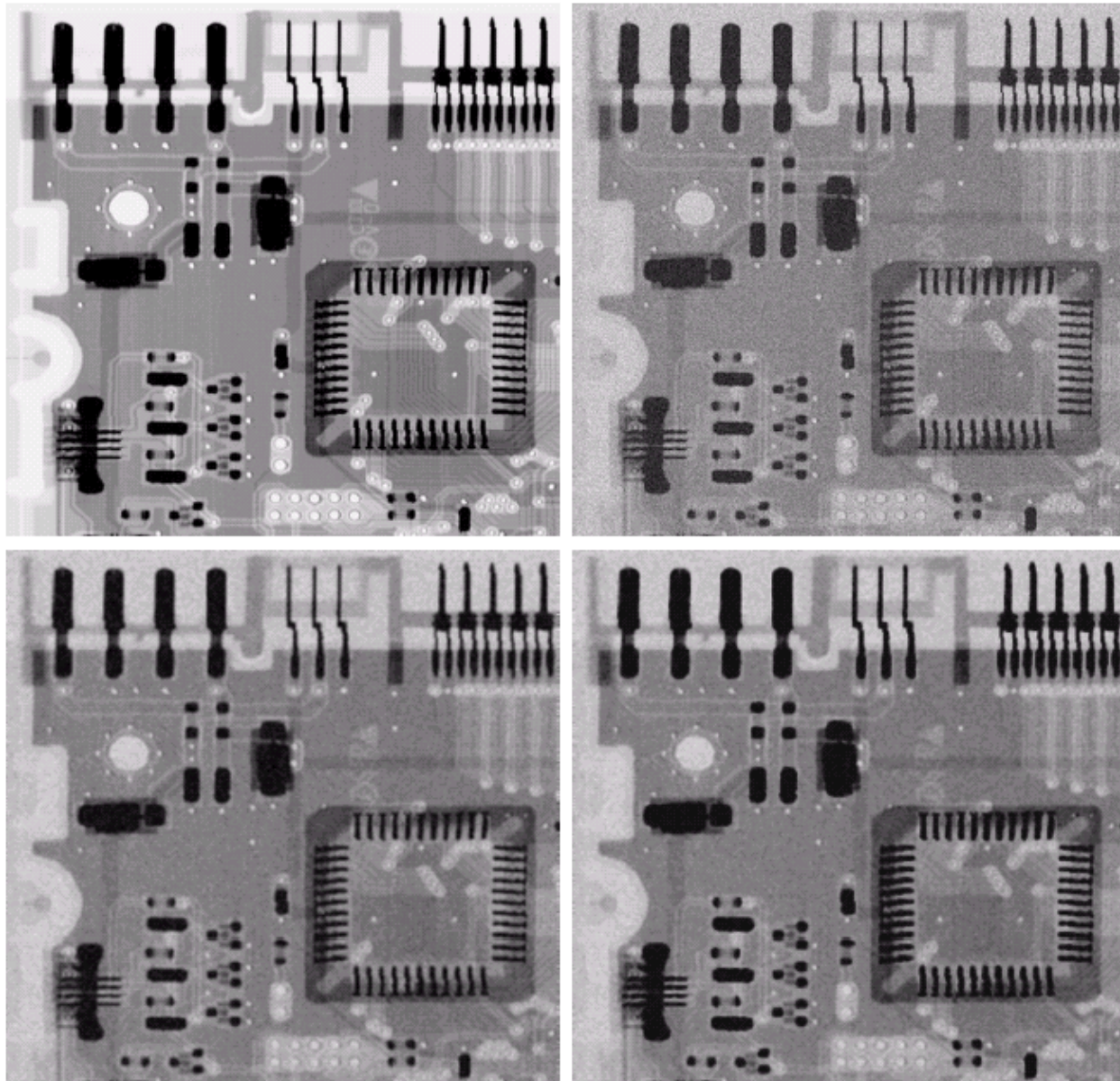
(编程实现时可能的问题?)

- 调和平均滤波器(Harmonic mean filter)

$$\hat{f}(x, y) = \frac{mn}{\sum_{(s,t) \in S_{xy}} \frac{1}{g(s, t)}}$$

- 反调和平均滤波器(Contraharmonic filter)

$$\hat{f}(x, y) = \frac{\sum_{(s,t) \in S_{xy}} g(s, t)^{Q+1}}{\sum_{(s,t) \in S_{xy}} g(s, t)^Q}$$



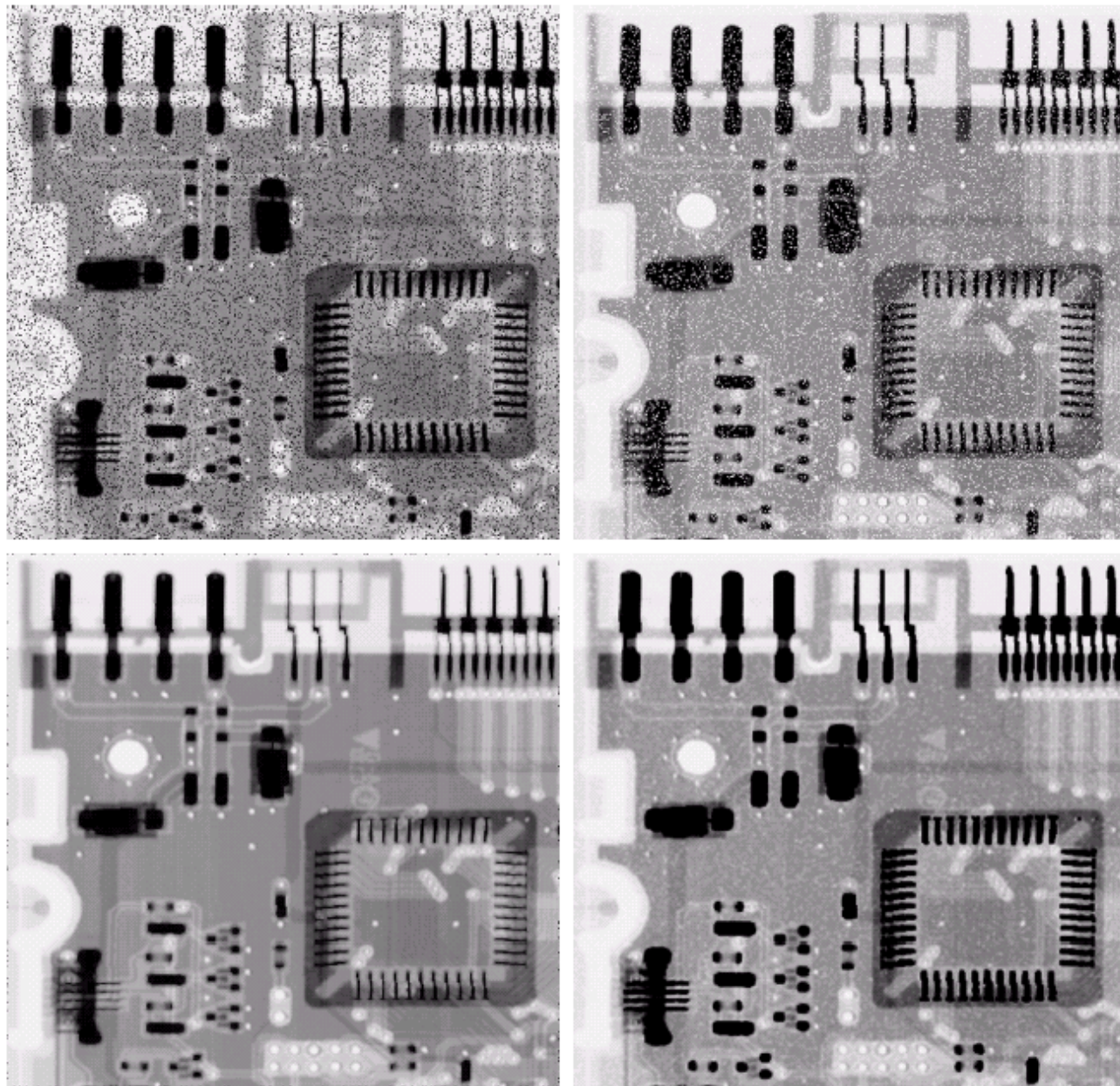
a b
c d

FIGURE 5.7 (a) X-ray image. (b) Image corrupted by additive Gaussian noise. (c) Result of filtering with an arithmetic mean filter of size 3×3 . (d) Result of filtering with a geometric mean filter of the same size. (Original image courtesy of Mr. Joseph E. Pascente, Lixi, Inc.)

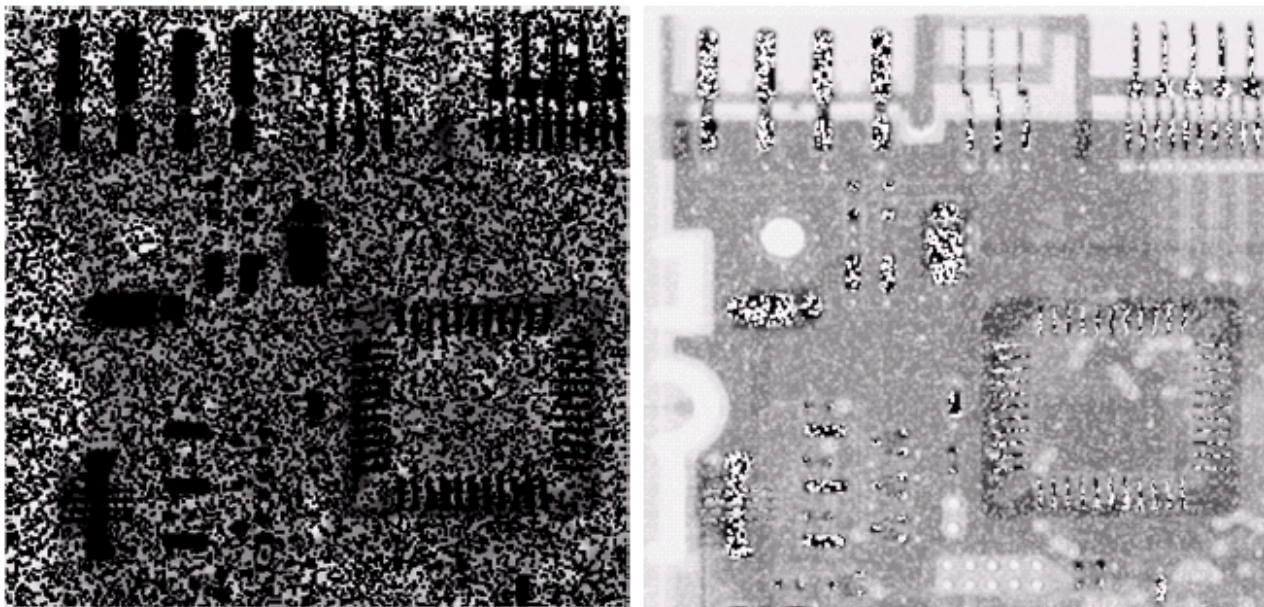
a
b
c
d

FIGURE 5.8

- (a) Image corrupted by pepper noise with a probability of 0.1. (b) Image corrupted by salt noise with the same probability. (c) Result of filtering (a) with a 3×3 contraharmonic filter of order 1.5. (d) Result of filtering (b) with $Q = -1.5$.



反调和平均滤波器滤波



a b

FIGURE 5.9 Results of selecting the wrong sign in contraharmonic filtering. (a) Result of filtering Fig. 5.8(a) with a contraharmonic filter of size 3×3 and $Q = -1.5$. (b) Result of filtering 5.8(b) with $Q = 1.5$.



次序統計濾波器

■ 中值濾波器(Median filter)

$$\hat{f}(x, y) = \underset{(s,t) \in S_{xy}}{\text{median}} \{g(s, t)\}$$

■ 最大最小濾波器(Max and min filters)

$$\begin{cases} \hat{f}(x, y) = \underset{(s,t) \in S_{xy}}{\max} \{g(s, t)\} \\ \hat{f}(x, y) = \underset{(s,t) \in S_{xy}}{\min} \{g(s, t)\} \end{cases}$$

■ 中點濾波器(Midpoint filter)

$$\hat{f}(x, y) = \frac{1}{2} \left[\underset{(s,t) \in S_{xy}}{\max} \{g(s, t)\} + \underset{(s,t) \in S_{xy}}{\min} \{g(s, t)\} \right]$$

■ Alpha截取中值濾波器(Alpha-trimmed mean filter)

$$\hat{f}(x, y) = \frac{1}{mn-d} \sum_{(s,t) \in S_{xy}} g_r(s, t)$$

a	b
c	d

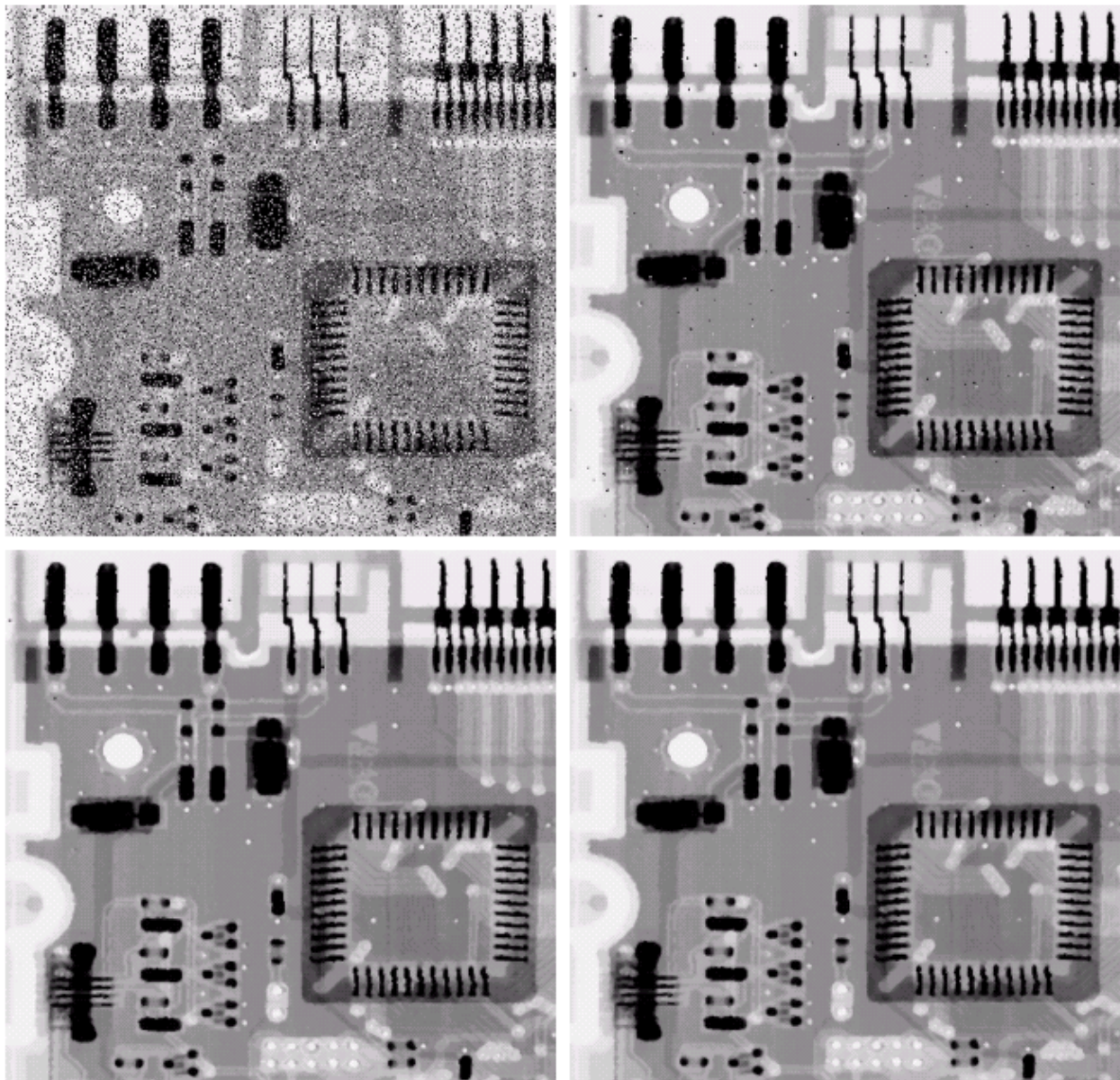
FIGURE 5.10

(a) Image corrupted by salt-and-pepper noise with probabilities $P_a = P_b = 0.1$.

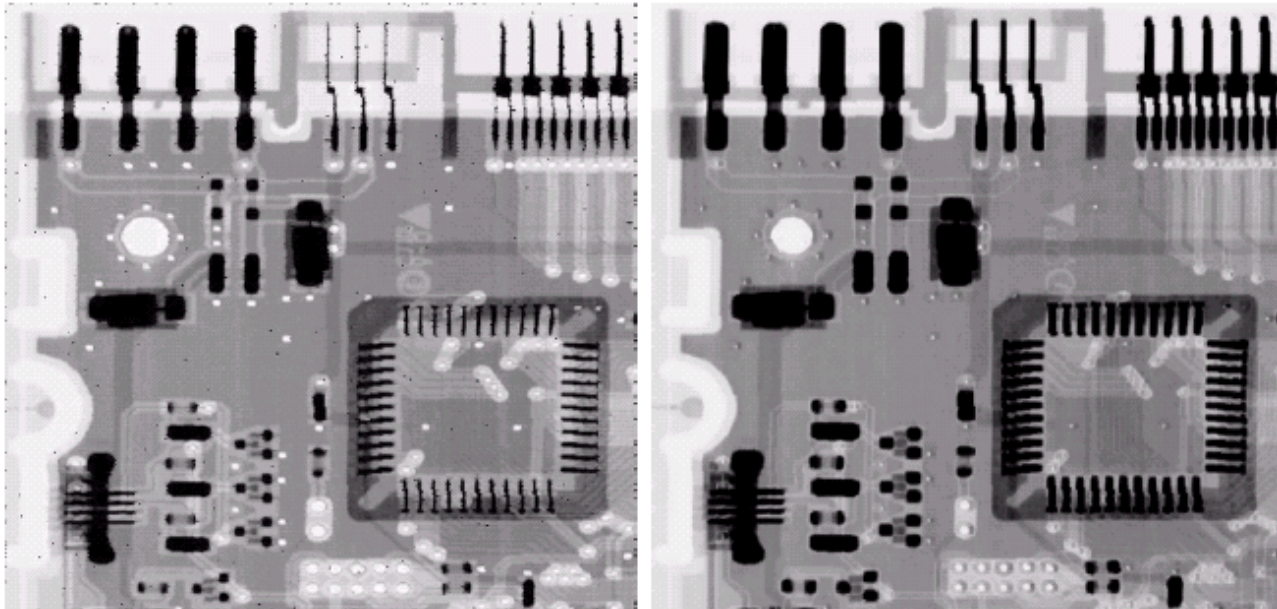
(b) Result of one pass with a median filter of size 3×3 .

(c) Result of processing (b) with this filter.

(d) Result of processing (c) with the same filter.



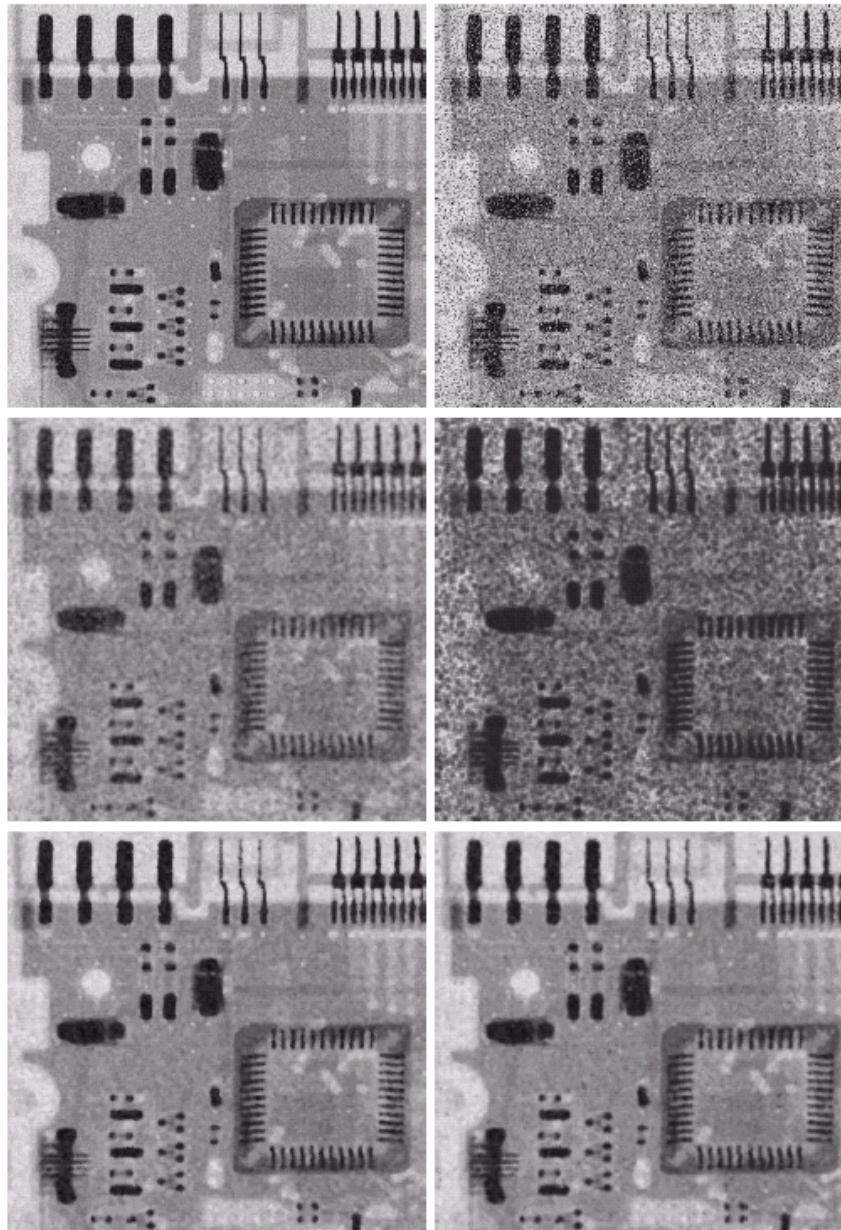
最大最小濾波器濾波



a b

FIGURE 5.11

(a) Result of filtering Fig. 5.8(a) with a max filter of size 3×3 . (b) Result of filtering 5.8(b) with a min filter of the same size.



a b
c d
e f

FIGURE 5.12 (a) Image corrupted by additive uniform noise. (b) Image additionally corrupted by additive salt-and-pepper noise. Image in (b) filtered with a 5×5 : (c) arithmetic mean filter; (d) geometric mean filter; (e) median filter; and (f) alpha-trimmed mean filter with $d = 5$.



第5章 图像复原与重建

- 5.1 图像退化/复原过程的模型
- 5.2 噪声模型
- 5.3 只存在噪声的复原——空间滤波
- 5.4 用频率域消除周期噪声
- 5.5 估计退化函数
- 5.6 逆滤波
- 5.7 最小均方误差（维纳）滤波
- 5.8 约束最小二乘方滤波
- 5.9 由投影重建图像



5.4 频域滤波消除周期噪声

□ 消除加性的周期噪声

- 带阻滤波器(Bandreject Filters)
- 带通滤波器(Bandpass Filters)
- 槽口滤波器(Notch Filters)



帶阻濾波器 (Bandreject Filters)

理想帶阻濾波器(Ideal Bandreject Filters)

$$H(u, v) = \begin{cases} 1 & \text{if } D(u, v) < D_0 - \frac{W}{2} \\ 0 & \text{if } D_0 - \frac{W}{2} \leq D(u, v) \leq D_0 + \frac{W}{2} \\ 1 & \text{if } D(u, v) > D_0 + \frac{W}{2} \end{cases}$$

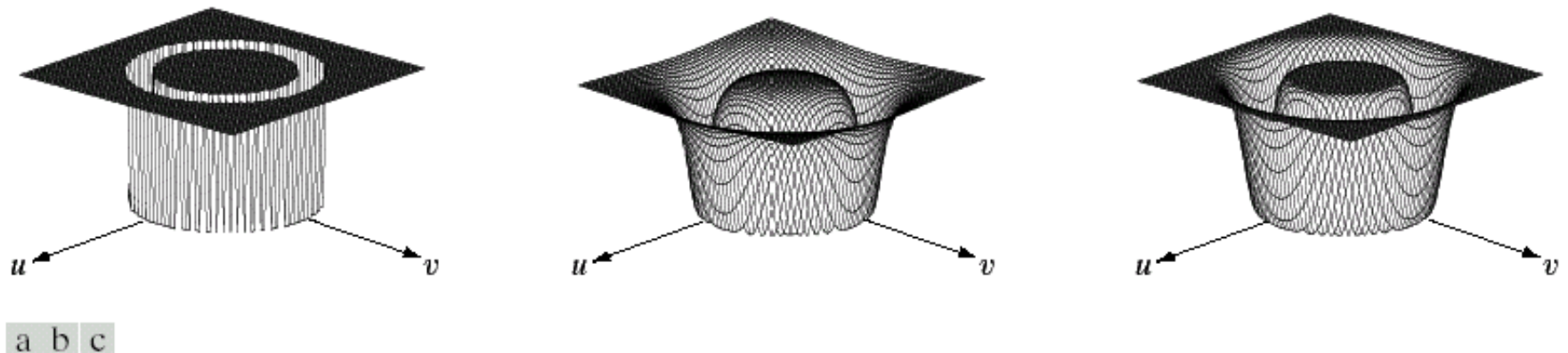
Butterworth帶阻濾波器(Butterworth Bandreject Filters)

$$H(u, v) = \frac{1}{1 + \left[\frac{D(u, v)W}{D^2(u, v) + D_0^2} \right]^{2n}}$$

高斯帶阻濾波器(Gaussian Bandreject Filters)

$$H(u, v) = 1 - e^{-\frac{1}{2} \left[\frac{D^2(u, v) + D_0^2}{D(u, v)W} \right]^2}$$

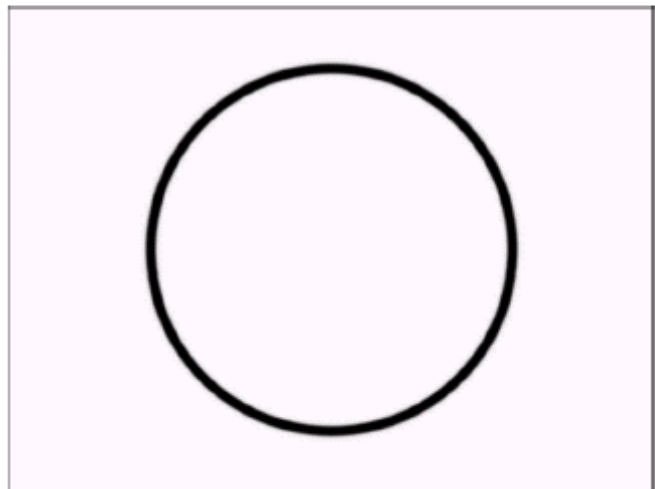
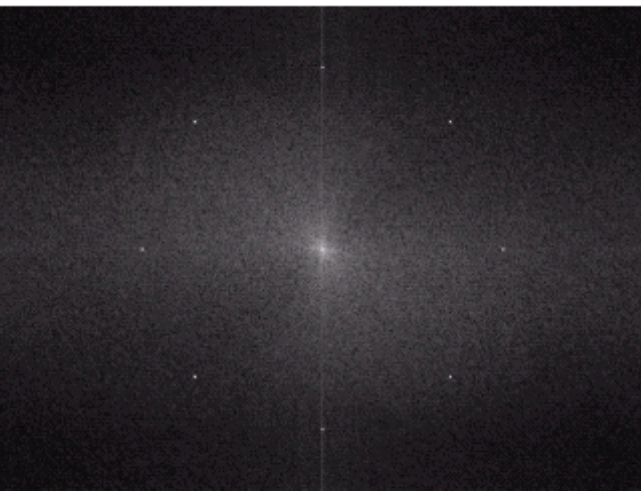
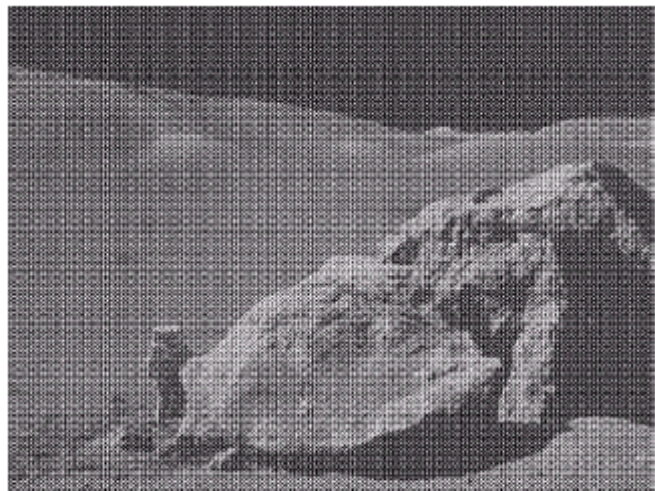
带阻滤波器 (Bandreject Filters)



a b c

FIGURE 5.15 From left to right, perspective plots of ideal, Butterworth (of order 1), and Gaussian bandreject filters.

带阻滤波器 (Bandreject Filters)



a
b
c
d

FIGURE 5.16

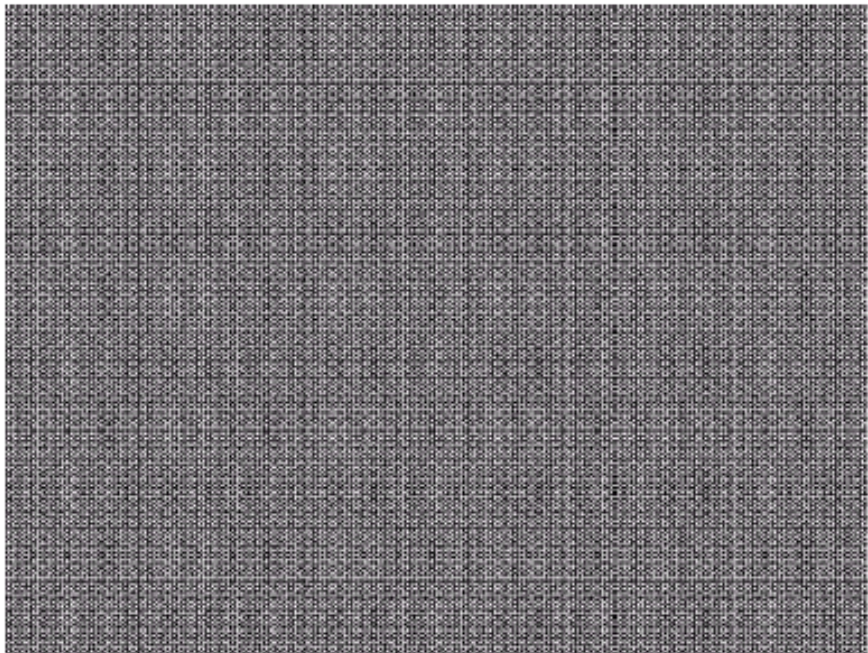
(a) Image corrupted by sinusoidal noise.
(b) Spectrum of (a).
(c) Butterworth bandreject filter (white represents 1). (d) Result of filtering. (Original image courtesy of NASA.)

带通滤波器(Bandpass Filters)

带通滤波器与带阻滤波器功能相反

$$H_{bp}(u, v) = 1 - H_{br}(u, v)$$

FIGURE 5.17
Noise pattern of
the image in
Fig. 5.16(a)
obtained by
bandpass filtering.



槽口滤波器

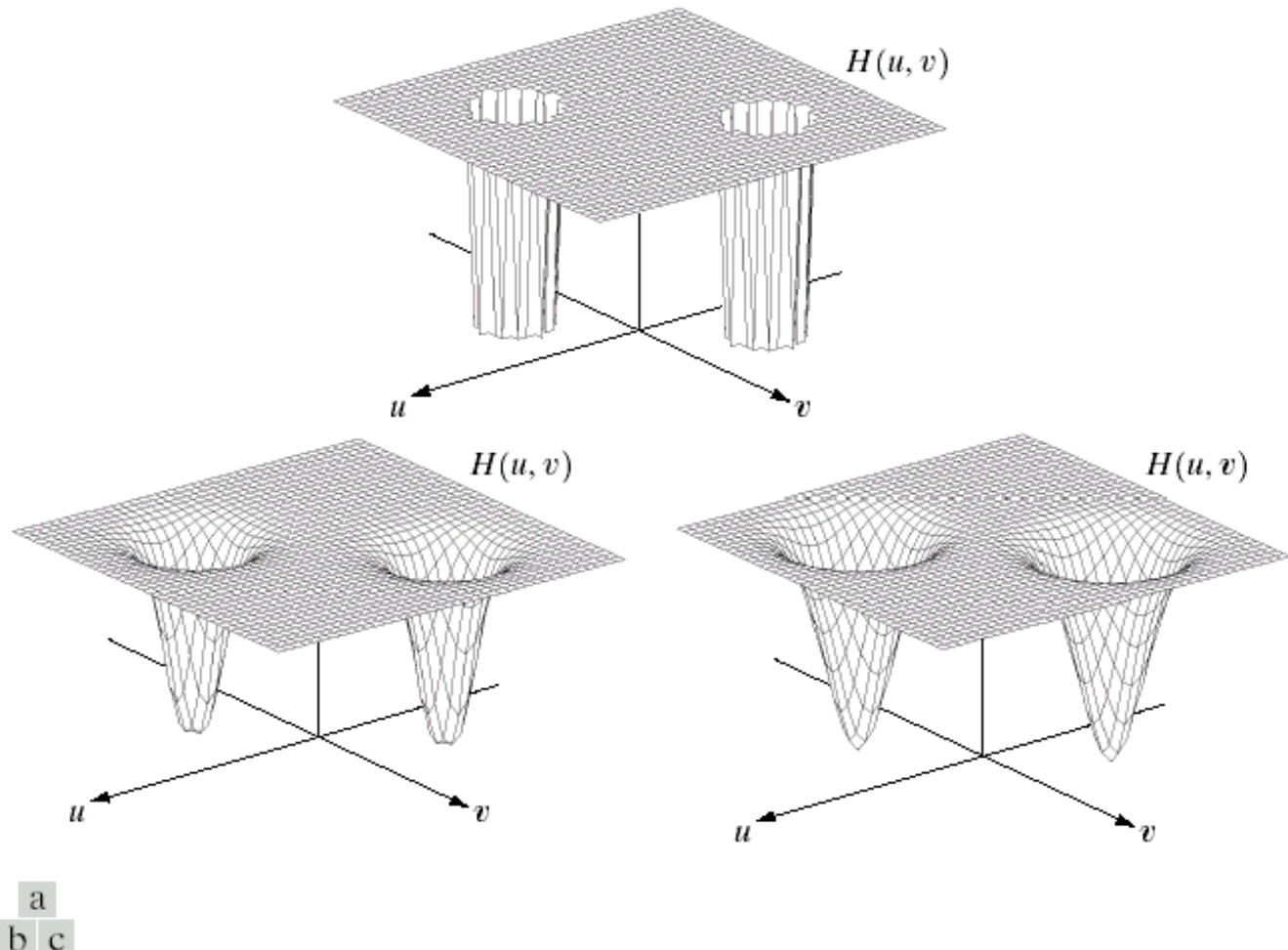
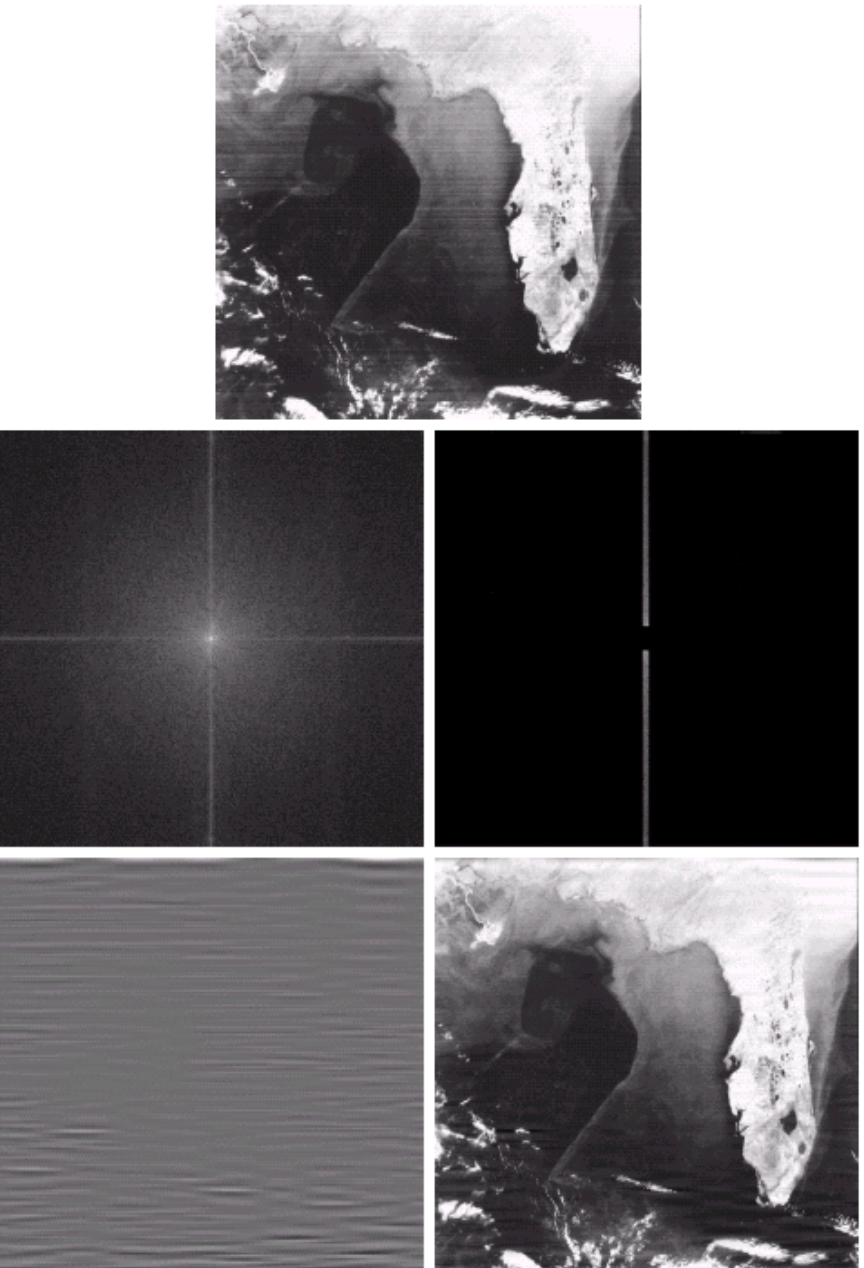


FIGURE 5.18 Perspective plots of (a) ideal, (b) Butterworth (of order 2), and (c) Gaussian notch (reject) filters.

a
b
c
d
e

FIGURE 5.19 (a) Satellite image of Florida and the Gulf of Mexico (note horizontal sensor scan lines). (b) Spectrum of (a). (c) Notch pass filter shown superimposed on (b). (d) Inverse Fourier transform of filtered image, showing noise pattern in the spatial domain. (e) Result of notch reject filtering. (Original image courtesy of NOAA.)





第5章 图像复原与重建

- 5.1 图像退化/复原过程的模型
- 5.2 噪声模型
- 5.3 只存在噪声的复原——空间滤波
- 5.4 用频率域消除周期噪声
- 5.5 估计退化函数
- 5.6 逆滤波
- 5.7 最小均方误差（维纳）滤波
- 5.8 约束最小二乘方滤波
- 5.9 由投影重建图像



5.5 估计退化函数

□ 假设图像的退化模型为

- 不考虑加性噪声

$$g(x, y) = h(x, y) * f(x, y)$$
$$G(u, v) = H(u, v) \cdot F(u, v)$$

□ 估计退化函数 $h(x, y)$ 的方法

- 通过观测图像估计(Estimation by Image Observation)
- 通过实验估计(Estimation by Experimentation)
- 通过数学建模估计(Estimation by Modeling)



(1) 图像观测估计

- 假设：退化过程为线性、位置不变的

$$H[af_1(x, y) + bf_2(x, y)] = aH[f_1(x, y)] + bH[f_2(x, y)]$$

$$H[f(x - \alpha, y - \beta)] = g(x - \alpha, y - \beta)$$

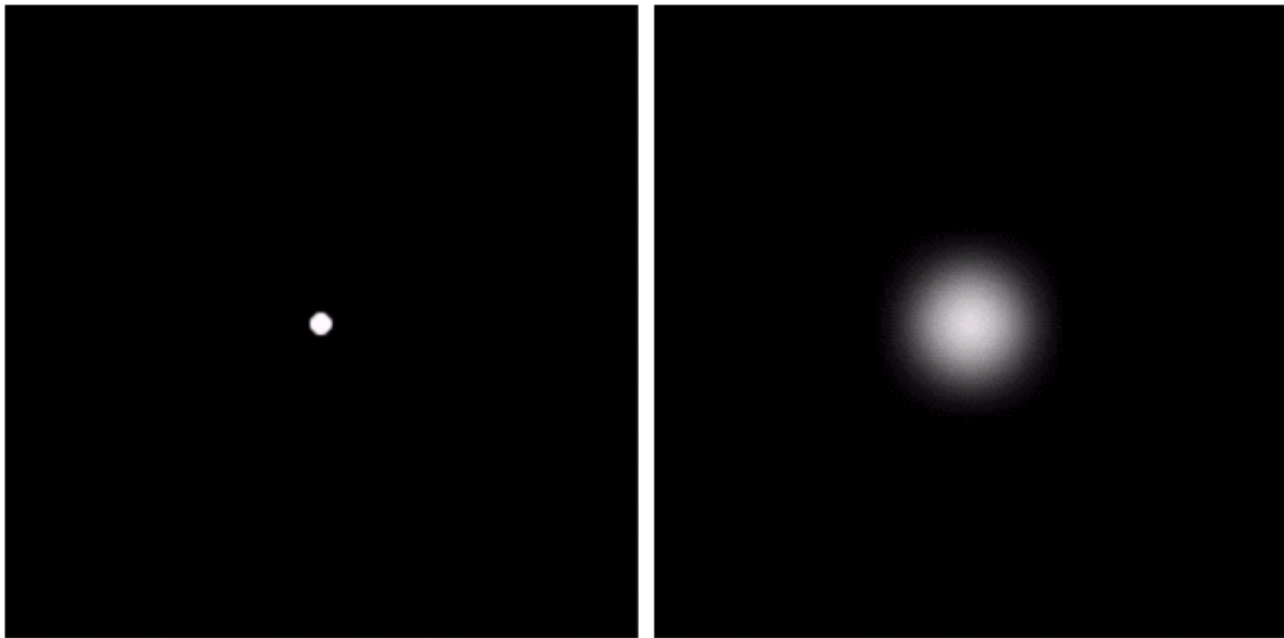
- 通过图像本身收集信息来估计退化函数 H

- 从图像中选取有很强信号内容的区域（高对比度）
- 对该图像进行处理，得到尽可能不模糊的结果
 - ✓ 如锐化处理、甚至手工方法处理
- 基于处理之后的图像频谱，估计退化函数频谱

$$H(u, v) = \frac{G(u, v)}{F(u, v)}$$

(2) 试验估计

- 假设退化过程可用设备近似，重复成像
 - 对点光源进行成像，观测结果即为系统函数
- $$g(x, y) = \delta(x, y) * h(x, y) = h(x, y)$$



a b

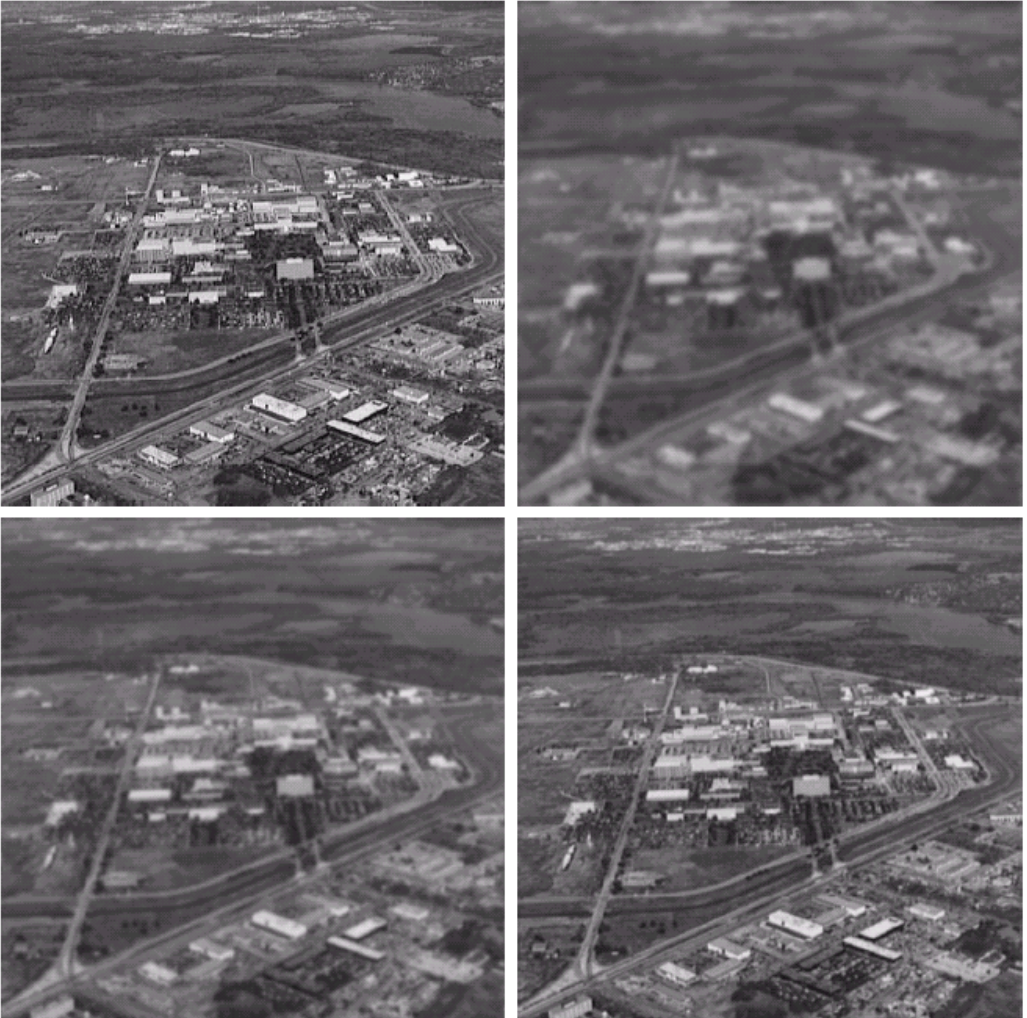
FIGURE 5.24
Degradation
estimation by
impulse
characterization.
(a) An impulse of
light (shown
magnified).
(b) Imaged
(degraded)
impulse.

(3) 建模估计-I

- 对退化过程背后的物理特性进行建模

a	b
c	d

FIGURE 5.25
Illustration of the atmospheric turbulence model.
(a) Negligible turbulence.
(b) Severe turbulence, $k = 0.0025$.
(c) Mild turbulence, $k = 0.001$.
(d) Low turbulence, $k = 0.00025$.
(Original image courtesy of NASA.)



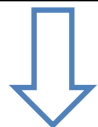
$$H(u, v) = e^{-k(u^2 + v^2)^{5/6}}$$

(3) 建模估计-II

□ 从基本原理推导数学模型

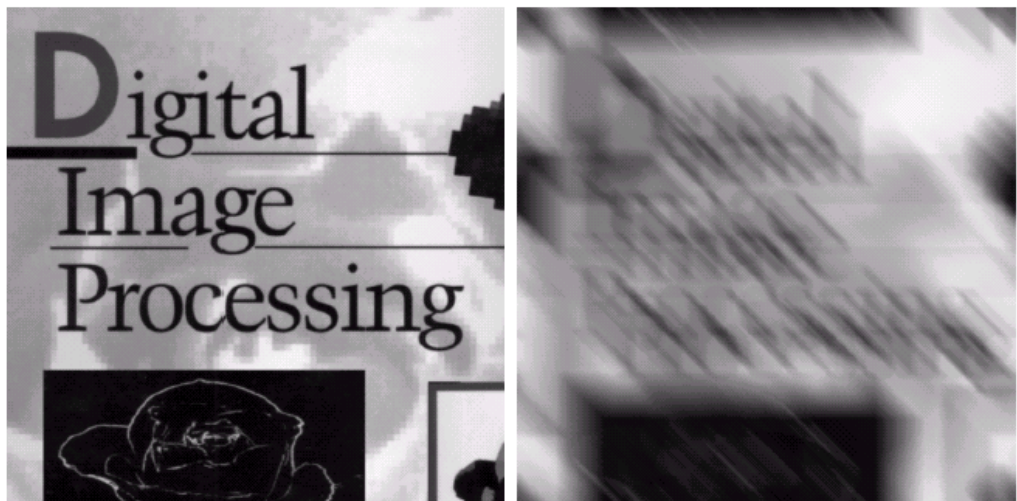
$$g(x, y) = \int_0^T f[x - x_0(t), y - y_0(t)] dt$$

$g(x, y)$ 的物理意义是什么？



$$x(t) = at / T; \quad y(t) = bt / T$$

$$H(u, v) = \frac{T}{\pi(ua + vb)} \sin[\pi(ua + vb)] e^{-j\pi(ua + vb)}$$



a b

FIGURE 5.26 (a) Original image. (b) Result of blurring using the function in Eq. (5.6-11) with $a = b = 0.1$ and $T = 1$.



第5章 图像复原与重建

- 5.1 图像退化/复原过程的模型
- 5.2 噪声模型
- 5.3 只存在噪声的复原——空间滤波
- 5.4 用频率域消除周期噪声
- 5.5 估计退化函数
- 5.6 逆滤波
- 5.7 最小均方误差（维纳）滤波
- 5.8 约束最小二乘方滤波
- 5.9 由投影重建图像



5.6 逆滤波

□ 降质模型

$$G(u, v) = F(u, v) \cdot H(u, v) + N(u, v)$$

□ 降质图像频谱直接除以降质函数：

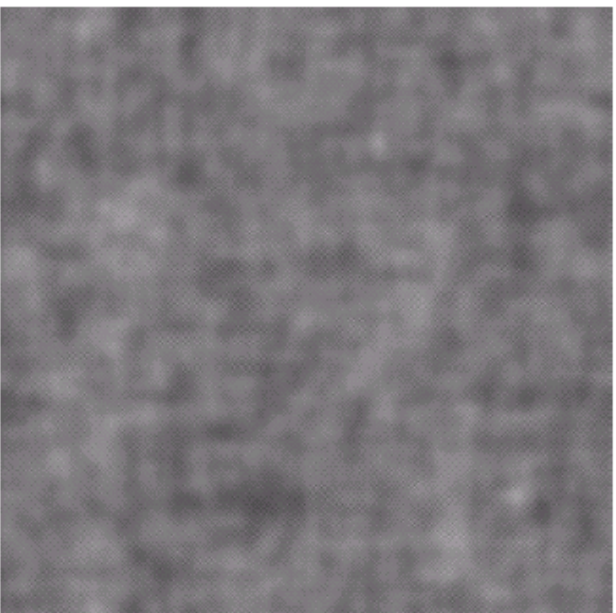
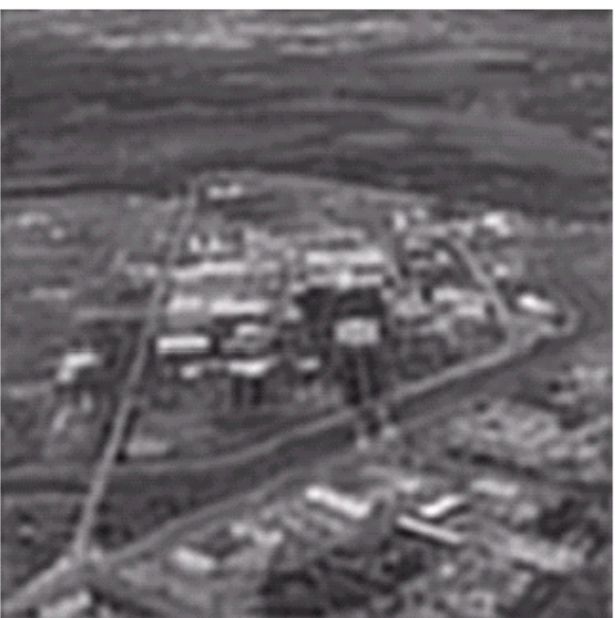
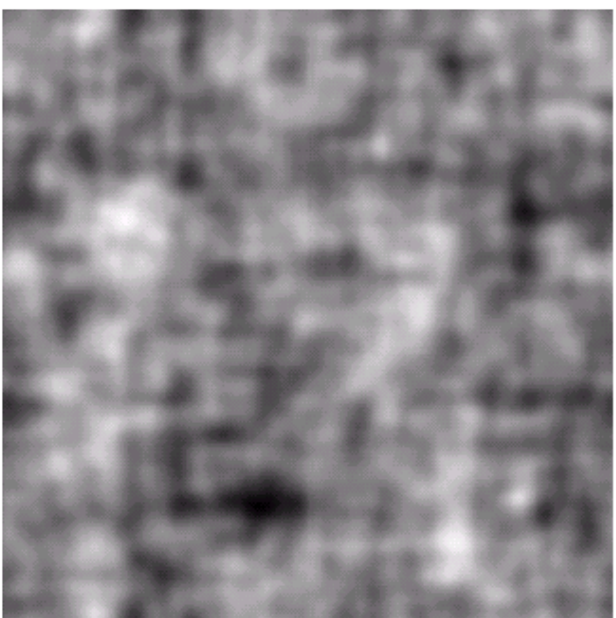
$$\hat{F}(u, v) = \frac{G(u, v)}{H(u, v)} \quad \Rightarrow \quad \hat{F}(u, v) = F(u, v) + \frac{N(u, v)}{H(u, v)}$$

- 由于 $N(u, v)$ 未知，即使得到降质函数 $H(u, v)$ ，也难以精确重建
- 在某些位置， $H(u, v)$ 为0或者是非常小的值，而 $F(u, v)$ 接近无穷大，导致有用的信息信息被淹没
 - 解决方法：限制滤波的频率，使其接近原点
 - $H(0,0)$ 在频率域中通常是 $H(u, v)$ 的最高值，通过将频率限制在原点附近分析，就减少了遇到零值的概率

a b
c d

FIGURE 5.27

Restoring Fig. 5.25(b) with Eq. (5.7-1).
(a) Result of using the full filter. (b) Result with H cut off outside a radius of 40; (c) outside a radius of 70; and (d) outside a radius of 85.



$$H(u,v) = e^{-k[(u-M/2)^2 + (v-N/2)^2]^{5/6}}$$



第5章 图像复原与重建

- 5.1 图像退化/复原过程的模型
- 5.2 噪声模型
- 5.3 只存在噪声的复原——空间滤波
- 5.4 用频率域消除周期噪声
- 5.5 估计退化函数
- 5.6 逆滤波
- 5.7 **最小均方误差（维纳）滤波**
- 5.8 约束最小二乘方滤波
- 5.9 由投影重建图像



5.7 最小均方误差（维纳）滤波

□ 维纳滤波

- 综合考虑退化函数和噪声统计特性，进行图像复原
- 优化目标：最小化未污染图像 f 和其估计 \hat{f} 之间的均方误差期望

$$e^2 = E \left\{ \|f - \hat{f}\|^2 \right\}$$

- 最小化上述均方误差，可得频域解：

$$F(u, v) = \left[\frac{1}{H(u, v)} \frac{|H(u, v)|^2}{|H(u, v)|^2 + S_\eta(u, v) / S_f(u, v)} \right] G(u, v)$$

- 简化形式：
 - ✓ K 可通过交互选择，使得重建的图像视觉效果最佳

$$F(u, v) = \left[\frac{1}{H(u, v)} \frac{|H(u, v)|^2}{|H(u, v)|^2 + K} \right] G(u, v)$$

逆滤波与维纳滤波比较



a b c

FIGURE 5.28 Comparison of inverse- and Wiener filtering. (a) Result of full inverse filtering of Fig. 5.25(b). (b) Radially limited inverse filter result. (c) Wiener filter result.

进一步比较

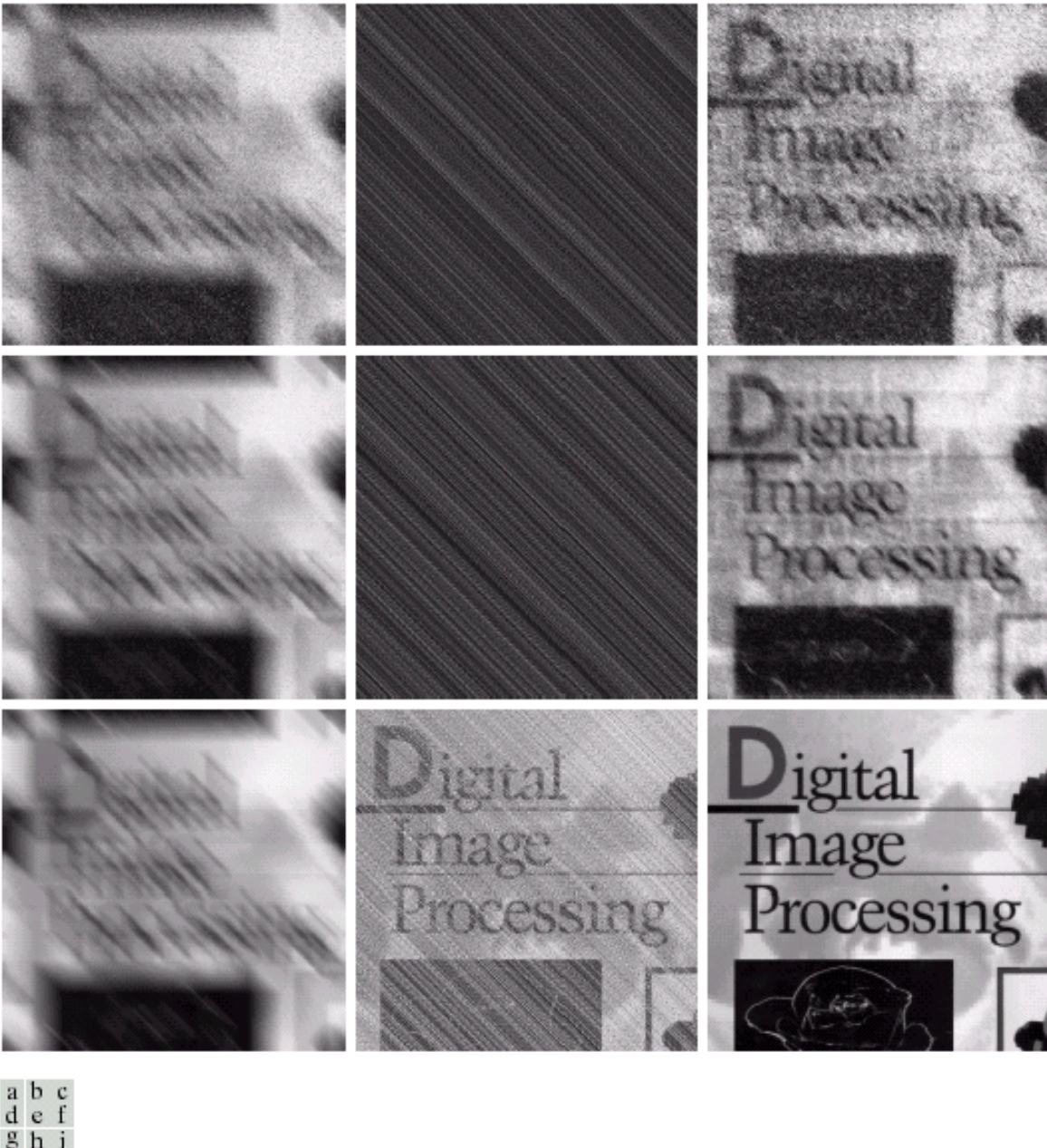


FIGURE 5.29 (a) Image corrupted by motion blur and additive noise. (b) Result of inverse filtering. (c) Result of Wiener filtering. (d)–(f) Same sequence, but with noise variance one order of magnitude less. (g)–(i) Same sequence, but noise variance reduced by five orders of magnitude from (a). Note in (h) how the deblurred image is quite visible through a “curtain” of noise.



第5章 图像复原与重建

- 5.1 图像退化/复原过程的模型
- 5.2 噪声模型
- 5.3 只存在噪声的复原——空间滤波
- 5.4 用频率域消除周期噪声
- 5.5 估计退化函数
- 5.6 逆滤波
- 5.7 最小均方误差（维纳）滤波
- 5.8 约束最小二乘方滤波
- 5.9 由投影重建图像



5.8 约束最小二乘方滤波

□ 与维纳滤波相比

- 不需要知道信号和噪声的功率谱，仅需知道噪声的均值和方差
- 维纳滤波的最优是平均意义上的，代数法是针对每一幅具体图像

□ 实现方法

- 将降质模型方程改写为向量矩阵形式

$$g(x, y) = h(x, y) * f(x, y) + \eta(x, y)$$



$$\mathbf{g} = \mathbf{H}\mathbf{f} + \boldsymbol{\eta}$$

$$\mathbf{g}, \mathbf{f}, \boldsymbol{\eta}: M \times N \rightarrow MN \times 1$$

$$\mathbf{H}: MN \times MN$$



5.8 约束最小二乘方滤波

以平滑度量为最佳
复原的基础：

$$\min C = \sum_{x=0}^{M-1} \sum_{y=0}^{N-1} [\nabla^2 f(x, y)]^2$$

$$\text{subject to } \|g = H\hat{f}\|^2 = \|\eta\|^2$$

该优化问题的频域解：

$$F(u, v) = \left[\frac{H^*(u, v)}{|H(u, v)|^2 + \gamma |P(u, v)|^2} \right] G(u, v)$$

$$p(x, y) = \begin{bmatrix} 0 & -1 & 0 \\ -1 & 4 & -1 \\ 0 & -1 & 0 \end{bmatrix} \quad \xleftrightarrow{\text{FFT}} \quad P(u, v)$$

5.8 约束最小二乘方滤波

- 为产生最好的视觉效果，手工选择 γ 的值



FIGURE 5.30 Results of constrained least squares filtering. Compare (a), (b), and (c) with the Wiener filtering results in Figs. 5.29(c), (f), and (i), respectively.



第5章 图像复原与重建

- 5.1 图像退化/复原过程的模型
- 5.2 噪声模型
- 5.3 只存在噪声的复原——空间滤波
- 5.4 用频率域消除周期噪声
- 5.5 估计退化函数
- 5.6 逆滤波
- 5.7 最小均方误差（维纳）滤波
- 5.8 约束最小二乘方滤波
- 5.9 由投影重建图像

5.9 由投影重建图像

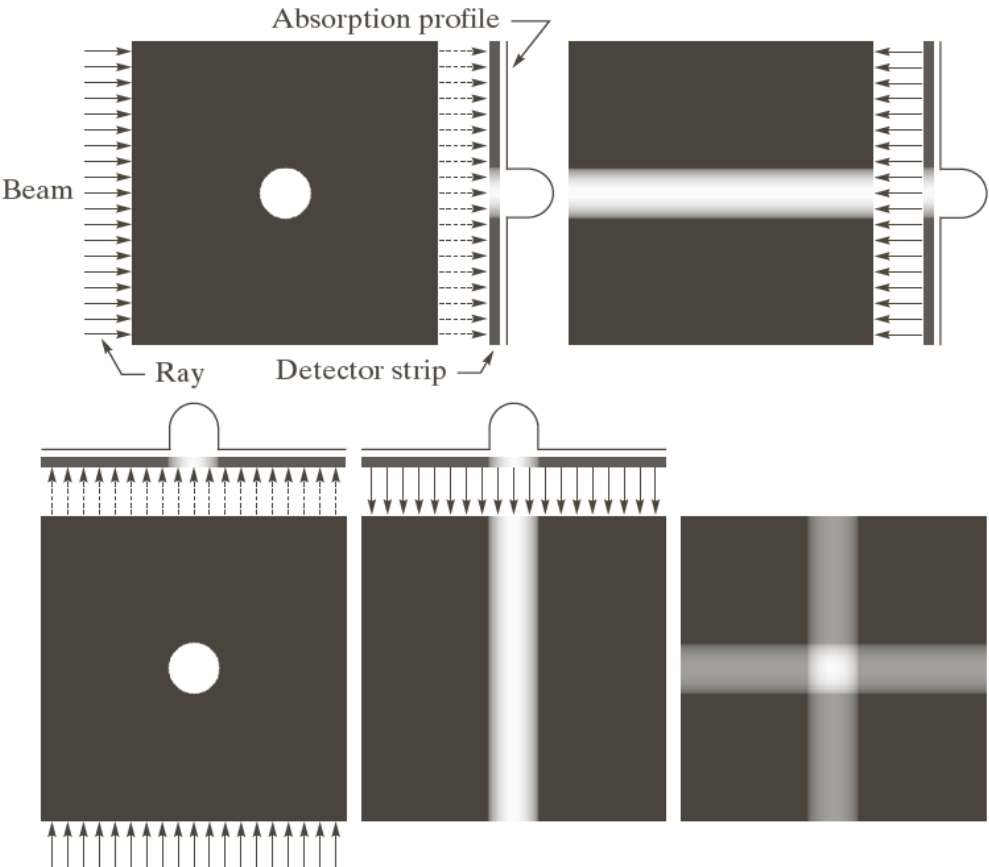
□ 计算机断层(CT)原理

- X射线吸收检测器感知条带数据，通过反投影，重建一副二维图像
- 叠加正交投影方向的重建结果，可以粗略定位物体位置和形状

a b
c d e

FIGURE 5.32

(a) Flat region showing a simple object, an input parallel beam, and a detector strip.
 (b) Result of back-projecting the sensed strip data (i.e., the 1-D absorption profile). (c) The beam and detectors rotated by 90°.
 (d) Back-projection.
 (e) The sum of (b) and (d). The intensity where the back-projections intersect is twice the intensity of the individual back-projections.



5.9 由投影重建图像

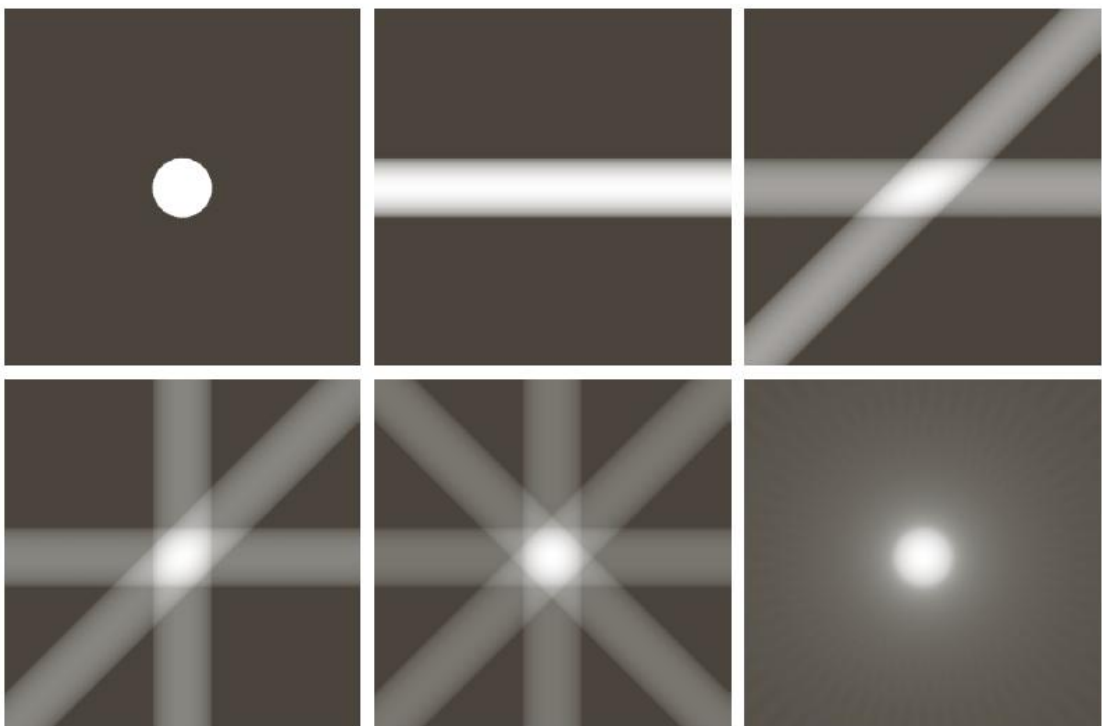
□ 计算机断层(CT)原理

- 随着投影数量的增加，不相交反投影的强度相对于多个反投影相交区域的强度，会显著降低
- 最后，较亮区域将支配结果，很少或不相交的反投影将减弱为背景

a	b	c
d	e	f

FIGURE 5.33

(a) Same as Fig. 5.32(a).
 (b)–(e) Reconstruction using 1, 2, 3, and 4 backprojections 45° apart.
 (f) Reconstruction with 32 backprojections 5.625° apart (note the blurring).



5.9 由投影重建图像

□ 计算机断层(CT)原理

- 基于反投影重建，可以恢复出含多个物体的图像

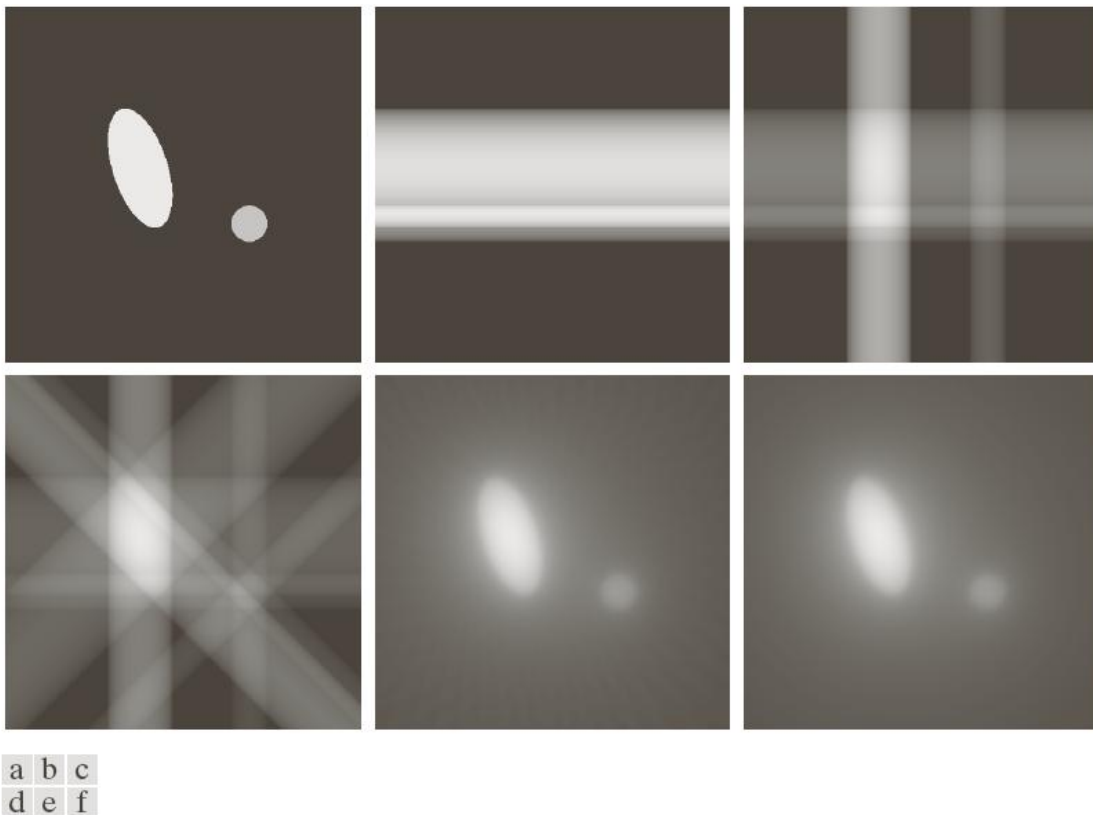


FIGURE 5.34 (a) A region with two objects. (b)–(d) Reconstruction using 1, 2, and 4 backprojections 45° apart. (e) Reconstruction with 32 backprojections 5.625° apart. (f) Reconstruction with 64 backprojections 2.8125° apart.

5.9 由投影重建图像

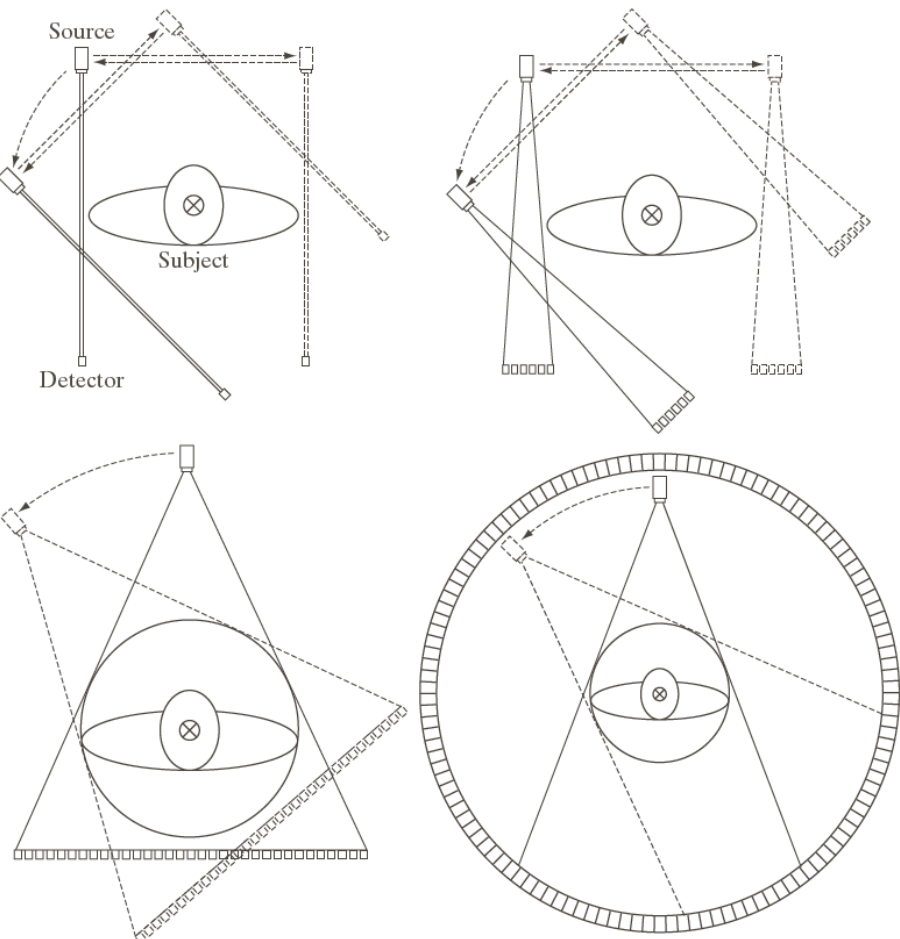
计算机断层(CT)原理

- 1919 Johann Radon提出**Radon变换**
- 1962年Allan M. Cormack, Tufts Univ. 设计CT原型
- G. N. Hounsfield, 英国伦敦EMI公司工程师, 同时设计第一台医用CT
- A. M. Cormack和G. N. Hounsfield获1979年诺贝尔医学奖

a
b
c
d

FIGURE 5.35 Four generations of CT scanners. The dotted arrow lines indicate incremental linear motion. The dotted arrow arcs indicate incremental rotation. The cross-mark on the subject's head indicates linear motion perpendicular to the plane of the paper. The double arrows in (a) and (b) indicate that the source/detector unit is translated and then brought back into its original position.

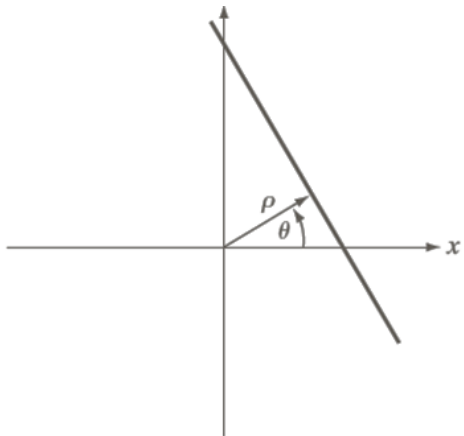
四代CT扫描器



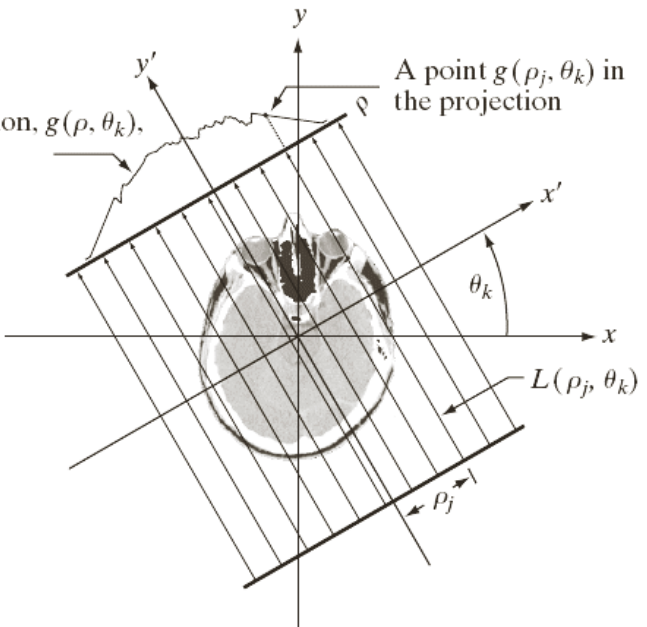
5.9 由投影重建图像

投影和雷登变换 (Radon Transform)

$$x \cos \theta + y \sin \theta = \rho$$



Complete projection, $g(\rho, \theta_k)$,
for a fixed angle



线积分: $g(\rho_j, \theta_k) = \int_{-\infty}^{+\infty} \int_{-\infty}^{+\infty} f(x, y) \delta(x \cos \theta_k + y \sin \theta_k - \rho_j) dx dy$

$$g(\rho, \theta) = \int_{-\infty}^{+\infty} \int_{-\infty}^{+\infty} f(x, y) \delta(x \cos \theta + y \sin \theta - \rho) dx dy$$

$$g(\rho, \theta) = \sum_{x=0}^{M-1} \sum_{y=0}^{N-1} f(x, y) \delta(x \cos \theta + y \sin \theta - \rho) dx dy$$

5.9 由投影重建图像

正弦图(sinogram): $g(\rho, \theta)$

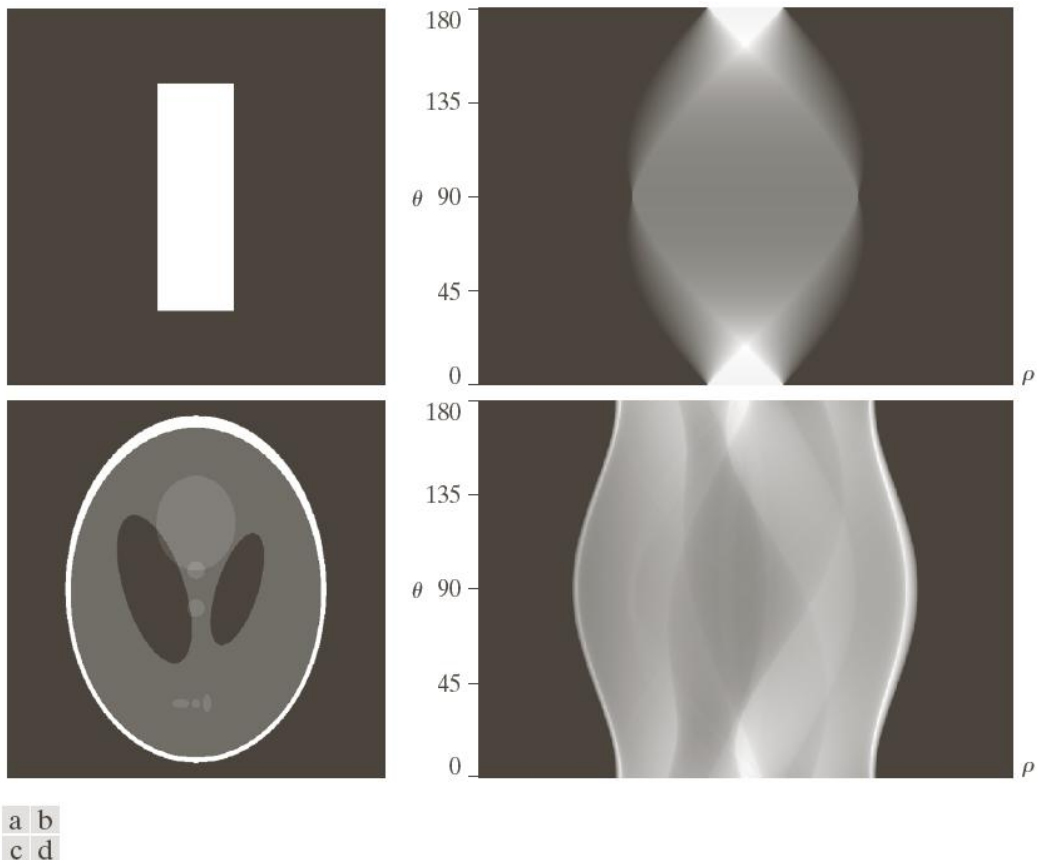


FIGURE 5.39 Two images and their sinograms (Radon transforms). Each row of a sinogram is a projection along the corresponding angle on the vertical axis. Image (c) is called the *Shepp-Logan phantom*. In its original form, the contrast of the phantom is quite low. It is shown enhanced here to facilitate viewing.

5.9 由投影重建图像

- 从正弦图 $g(\rho, \theta)$ 得到反投影图像 $f(x, y)$

$$f_{\theta_k}(x, y) = g(\rho, \theta_k) = g(x \cos \theta_k + y \sin \theta_k, \theta_k)$$

$$f_\theta(x, y) = g(x \cos \theta + y \sin \theta, \theta)$$

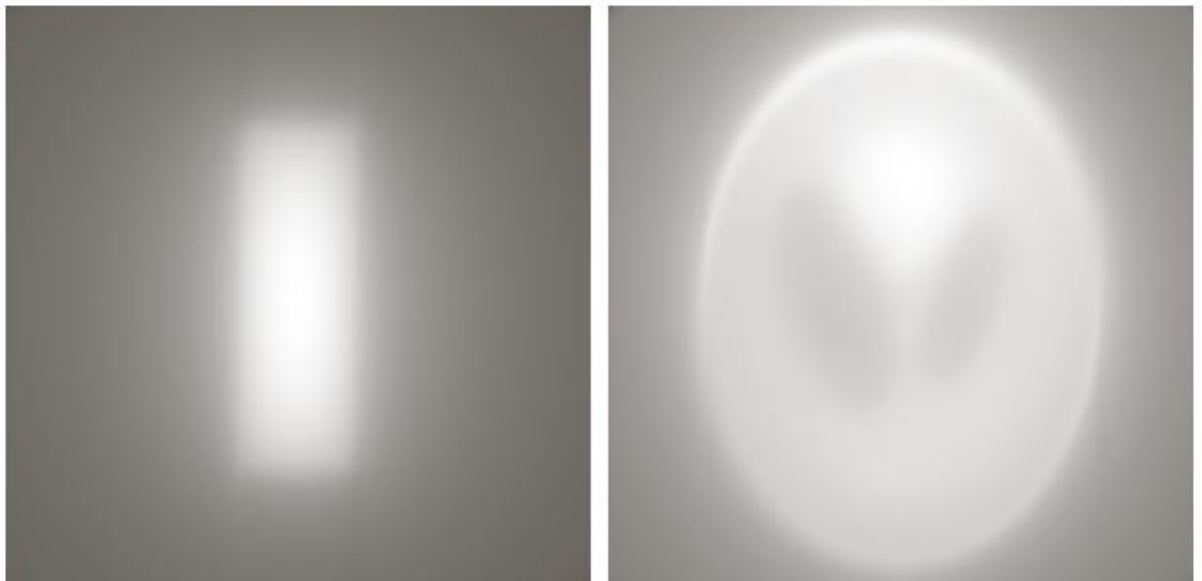
$$f(x, y) = \int_0^\pi f_\theta(x, y) d\theta \quad f(x, y) = \sum_{\theta=0}^{\pi} f_\theta(x, y)$$

对所有通过点 (x, y)
的直线积分的积分

重建结果存在
严重模糊现象

a b

FIGURE 5.40
Backprojections
of the sinograms
in Fig. 5.39.





5.9 由投影重建图像

傅里叶切片定理

给定 θ, ρ 投影的一维傅里叶变换

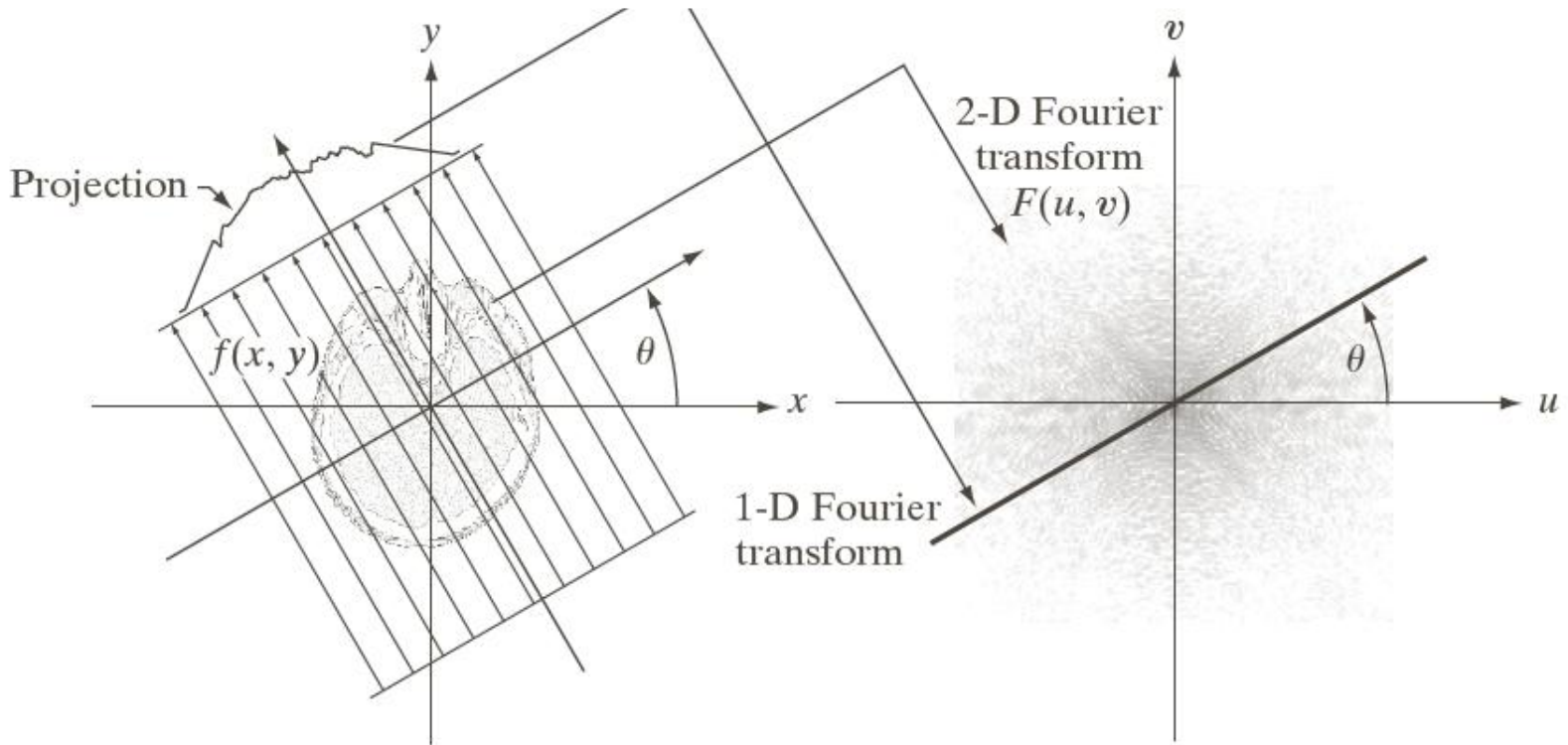
$$\begin{aligned} G(\omega, \theta) &= \int_{-\infty}^{+\infty} g(\rho, \theta) e^{-j2\pi\omega\rho} d\rho \\ &= \int_{-\infty}^{+\infty} \int_{-\infty}^{+\infty} \int_{-\infty}^{+\infty} f(x, y) \delta(x \cos \theta + y \sin \theta - \rho) e^{-j2\pi\omega\rho} dx dy d\rho \\ &= \int_{-\infty}^{+\infty} \int_{-\infty}^{+\infty} f(x, y) \left[\int_{-\infty}^{+\infty} \delta(x \cos \theta + y \sin \theta - \rho) e^{-j2\pi\omega\rho} d\rho \right] dx dy \\ &= \int_{-\infty}^{+\infty} \int_{-\infty}^{+\infty} f(x, y) e^{-j2\pi\omega(x \cos \theta + y \sin \theta)} dx dy \\ &= \left[\int_{-\infty}^{+\infty} \int_{-\infty}^{+\infty} f(x, y) e^{-j2\pi(ux+vy)} dx dy \right]_{u=\omega \cos \theta; v=\omega \sin \theta} \\ &= [F(u, v)]_{u=\omega \cos \theta; v=\omega \sin \theta} \quad (F(u, v) \text{ 是 } f(x, y) \text{ 的傅里叶变换}) \\ &= F(\omega \cos \theta, \omega \sin \theta) \end{aligned}$$

一个投影的傅里叶变换是投影区域二维傅里叶变换的一个切片

5.9 由投影重建图像

□ 傅里叶切片定理

- 一个投影的傅里叶变换是投影区域二维傅里叶变换的一个切片
- 任意一个投影的一维傅里叶变换可以沿着一个角度提取一条线的 $F(u,v)$ 的值来得到，该角度是产生投影所用的角度





5.9 由投影重建图像

- 为了避免直接反投影导致的重建图像模糊问题，可在反投影前进行简单滤波
- 使用平行射线束反投影的重建

$$\begin{aligned}f(x, y) &= \int_{-\infty}^{+\infty} \int_{-\infty}^{+\infty} F(u, v) e^{j2\pi(ux+vy)} du dv \\&= \int_0^{2\pi} \int_0^{+\infty} F(\omega \cos \theta, \omega \sin \theta) e^{j2\pi\omega(x \cos \theta + y \sin \theta)} \omega d\omega d\theta \quad (u = \omega \cos \theta, v = \omega \sin \theta) \\&= \int_0^{2\pi} \int_0^{+\infty} G(\omega, \theta) e^{j2\pi\omega(x \cos \theta + y \sin \theta)} \omega d\omega d\theta \quad (F(\omega \cos \theta, \omega \sin \theta) = G(\omega, \theta)) \\&= \int_0^{\pi} \int_{-\infty}^{+\infty} |\omega| G(\omega, \theta) e^{j2\pi\omega(x \cos \theta + y \sin \theta)} d\omega d\theta \\&= \int_0^{\pi} \left[\int_{-\infty}^{+\infty} |\omega| G(\omega, \theta) e^{j2\pi\omega\rho} d\omega \right]_{\rho=x \cos \theta + y \sin \theta} d\theta\end{aligned}$$

5.9 由投影重建图像

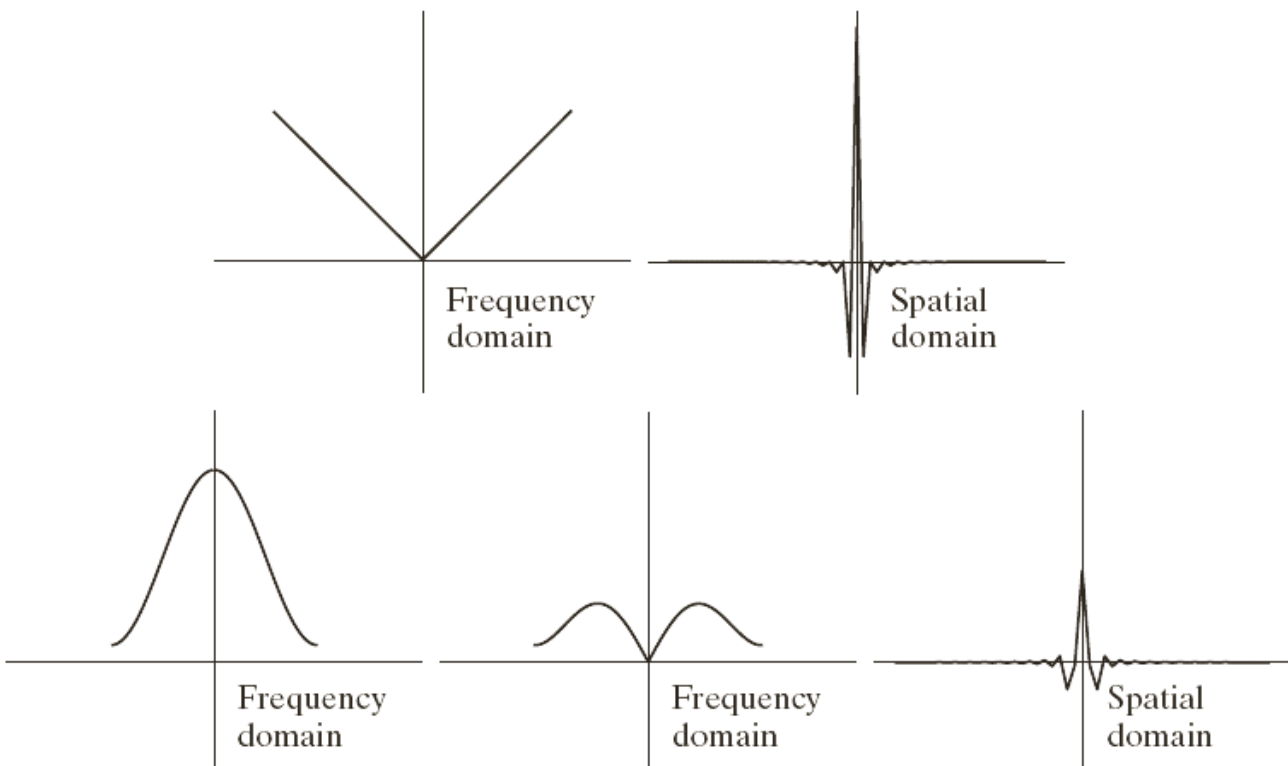
□ 使用平行射线束反投影的重建

- 斜坡滤波器 $|w|$ 不满足可积性条件，其傅里叶反变换不存在
- 对斜坡滤波器 $|w|$ 加窗限制带宽
- 相比于盒状滤波器，采用汉明窗可以减少振铃现象

a b
c d e

FIGURE 5.42

(a) Frequency domain plot of the filter $|\omega|$ after band-limiting it with a box filter. (b) Spatial domain representation.
 (c) Hamming windowing function.
 (d) Windowed ramp filter, formed as the product of (a) and (c). (e) Spatial representation of the product (note the decrease in ringing).



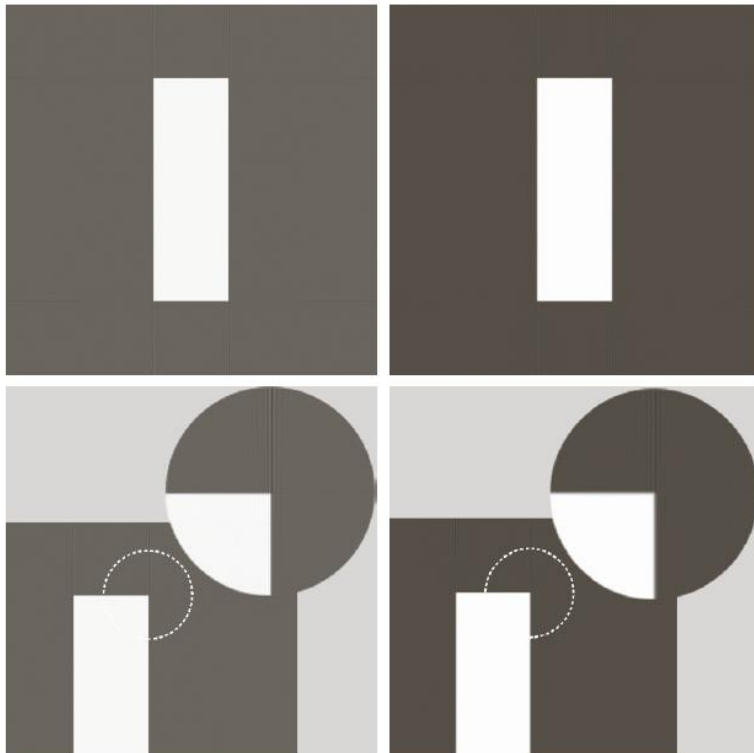
5.9 由投影重建图像

□ 基于平行射线束的滤波反投影重建方法

- 计算每个投影的一维傅里叶变换
- 用加窗斜坡滤波器乘以每个傅里叶变换，计算一维反傅里叶变换
- 对上述结果关于角度(θ)进行积分（求和）

a	b
c	d

FIGURE 5.43
Filtered back-projections of the rectangle using (a) a ramp filter, and (b) a Hamming-windowed ramp filter. The second row shows zoomed details of the images in the first row. Compare with Fig. 5.40(a).



5.9 由投影重建图像

使用平行射线束滤波反投影的重建

a b

FIGURE 5.44

Filtered backprojections of the head phantom using (a) a ramp filter, and (b) a Hamming-windowed ramp filter. Compare with Fig. 5.40(b).

